

111 | November 1962

## SCHRIFTENREIHE SCHIFFBAU

M. Kirsch

**Die Verteilung der Geschwindigkeit  
um Zylinder und Rotationskörper in  
unbegrenzter Flüssigkeit**

**Die Verteilung der Geschwindigkeit um Zylinder und Rotationskörper in unbegrenzter Flüssigkeit**

M. Kirsch, Hamburg, Technische Universität Hamburg-Harburg, 1962

© Technische Universität Hamburg-Harburg  
Schriftenreihe Schiffbau  
Schwarzenbergstraße 95c  
D-21073 Hamburg

<http://www.tuhh.de/vss>

# Die Verteilung der Geschwindigkeit um Zylinder und Rotationskörper in unbegrenzter Flüssigkeit

Von Dr.-Ing. Maria Kirsch

Institut für Schiffbau der Universität Hamburg

B250111a

Inventar-Verz.-Nr. JFB-Ber. Nr.

Mia

**Vorbemerkung**

Die Arbeit befaßt sich mit der Bestimmung der Geschwindigkeitsverteilung auf der Oberfläche von Zylindern und Rotationskörpern, die nach der Methode von Amtsberg [1] aus vorgegebenen Singularitätsverteilungen erzeugt werden. Somit bringt der vorliegende Beitrag eine Ergänzung der beiden früher erschienenen Veröffentlichungen [2; 3]. Während dort die Erzeugung von Zylindern und Rotationskörpern im Falle symmetrischer Verteilung behandelt und die Geschwindigkeit nur für die Konturpunkte des Hauptspans berechnet worden ist, wird hier ein Beispiel für unsymmetrische Verteilung gebracht und die Geschwindigkeitsverteilung für diesen Fall und auch für die in den beiden anderen Arbeiten berechneten Körper für die gesamte Oberfläche bestimmt. Daraus lassen sich Schlüsse ziehen auf den Einfluß, den die Schiffsform auf den Widerstand ausübt.

Die Ermittlung der Geschwindigkeit erfolgte mit Hilfe der Integraltafel, die für Rotationskörper zuerst von Amtsberg [1] aufgestellt und in [8] erweitert worden ist und der Integraltafel für Zylinder in [2]; jedoch mußten diese Integraltabellen zur Bestimmung der Geschwindigkeit eine nochmalige Erweiterung erfahren, die in der vorliegenden Arbeit gebracht wird.

Die Deutsche Forschungsgemeinschaft stellte die Mittel für diese Arbeit zur Verfügung und ermöglichte die Berechnung der Integraltabellen auf der IBM 650.

Ihr möchte ich an dieser Stelle meinen besten Dank sagen. Ebenfalls danke ich Herrn Prof. Dr.-Ing. Dr.-Ing. e. h. Weinblum, auf dessen Anregung diese Veröffentlichung entstanden ist und den Herren cand. arch. nav. W. Fürste und cand. arch. nav. B. Mertinatis für die Ausführung der Rechenarbeiten und Zeichnungen. Die Integraltafeln wurden mit der IBM 650, einem elektronischen Rechengerät, berechnet, das vom Institut für angewandte Mathematik der Universität Hamburg unter Leitung von Herrn Prof. Dr. Collatz verwaltet wird. An dieser Stelle möchte ich auch den Mathematikern Herrn Dr. Albrecht, Fräulein Helga Meyer, Herrn Dr. Koch und Herrn Dr. Wetterling für ihre Hilfe und Unterstützung danken, die sie mir bei der Benutzung des Rechenautomaten zuteil werden ließen.

**Einleitung**

Die vorliegende Veröffentlichung gliedert sich in zwei Teile. Im ersten Teil wird eine zur  $\eta$ -Achse unsymmetrische Dipolverteilung  $\eta(\xi)$  vorgegeben und der Zylinderquerschnitt berechnet, der im ebenen Fall hierdurch erzeugt wird. Analog erfolgt dann die Berechnung des Rotationskörpers für die gleiche unsymmetrische Dipolverteilung. Dies geschieht in beiden Fällen nach dem Quell-Senkenverfahren von Rankine [4; 5] und der von Amtsberg entwickelten Methode [1]. Im zweiten und eigentlichen Hauptteil der Arbeit wird die Verteilung der Geschwindigkeit um verschiedene durch Singularitäten erzeugte Körper bestimmt; dabei wird wieder unterschieden zwischen Zylindern und Rotationskörpern.

**Die Gleichungen für die Kontur der Körper**

Die Gleichungen, aus denen die Konturpunkte der Körper zu bestimmen sind, sollen hier nur ganz kurz angegeben werden. Eine ausführliche Ableitung und Erklärung der Formeln findet sich in den Arbeiten [1; 2; 3].

Es sei nur soviel gesagt: durch das Zusammenwirken von Singularitäten (in der Form von Quellen und Senken oder Dipolen) mit einer Parallelströmung entsteht jeweils eine bestimmte Strömung, die im ebenen Fall durch Stromlinien dargestellt wird. Die Stromlinie  $\psi = 0$  besteht aus einem geschlossenen Kurvenzug und dem außerhalb dieser Kurve

gelegenen Teil derjenigen Ordinatenachse, die in Richtung der Parallelströmung verläuft.

In Abb. 1 ist das Stromlinienbild gezeigt, das aus einer Parallelströmung in Richtung der negativen x-Achse entsteht, wenn in den Koordinatenursprung ein Dipol gebracht wird. Die Stromlinie  $\psi = 0$  setzt sich zusammen aus einem Kreis und der außerhalb dieses Kreises liegenden x-Achse. Das bedeutet, daß ein Dipol in einer Parallelströmung einen Kreis erzeugt. Umgekehrt entspricht einem Kreiszylinder in einer Parallelströmung dieses Stromlinienbilds.

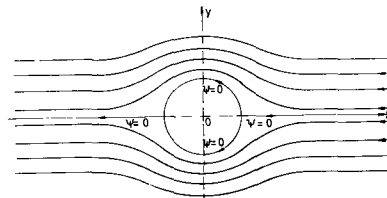


Abb. 1: Das Stromlinienbild, das durch einen Dipol in einer Parallelströmung in Richtung der negativen x-Achse erzeugt wird

Allgemein ausgedrückt kann man sagen, daß die geschlossene Stromlinie  $\psi = 0$ , also ohne den Anteil, den die Achse zur Stromlinie  $\psi = 0$  beiträgt, den Querschnitt des Zylinders gibt, der durch die vorgegebene Strömung erzeugt wird. Das Entsprechende gilt für die Erzeugung von Rotationskörpern durch Singularitätsverteilungen in einer Transportströmung, nur tritt hier an Stelle der Stromlinie die Stromfläche  $\psi = 0$ , von der aber wegen der Rotationssymmetrie auch nur ihr Verlauf in der xz-Ebene ermittelt zu werden braucht. Es folgt nun die Angabe der Gleichungen  $\psi = 0$  für Zylinder und Rotationskörper.

**a) Zylinder**

Die Gleichung des Querschnitts eines unendlich langen Zylinders, der durch eine Dipolverteilung  $\eta(\xi)$  erzeugt wird, lautet in dimensionsloser und normierter Form:

$$\frac{\pi}{\pi} \frac{1}{L/B} \int_{-1}^{+1} \frac{\eta(\xi) d\xi}{(x - \xi)^2 + \left(\frac{y}{L/B}\right)^2} = 1 \quad (1)$$

Die Normierung bedeutet, daß sowohl die Länge als auch die Breite gleich eins gesetzt ist. Der Zylinderquerschnitt kann somit für eine beliebige Länge und Breite berechnet werden; nur das Verhältnis  $L/B$  muß vorher bekannt sein.  $\pi$  ist ein Korrekturkoeffizient; er bewirkt, daß die Breite des Zylinders in normierter Form gleich eins, bzw. bei der Berechnung der tatsächlichen Aufmaße gleich der gewünschten Breite  $B$  wird. Die Länge des Zylinders weicht von der Länge  $L$  der Dipolverteilung theoretisch etwas ab, kann aber im Rahmen der Rechengenauigkeit mit dieser Länge gleichgesetzt werden. Da die Dipolverteilung in Form von Polynomen

$$\eta = 1 - \sum_{i=1}^n a_i \xi^i$$

gegeben wird, sind gemäß Gl. (1) die Integralwerte

$$\int_{-1}^{+1} \frac{\xi^n d\xi}{(x - \xi)^2 + \left(\frac{y}{L/B}\right)^2}$$

( $n = 1, 2, 3, \dots$ )

für verschiedene Wertpaare  $x, y$  zu bestimmen.

T a b e l l e 1

Integralwerte zur Berechnung von Zylindern für den Fall der Unsymmetrie

$$\int_{-1}^{+1} \frac{\xi^{2n+1}}{N} d\xi \quad \text{in Abhängigkeit von } x \text{ und } y$$

$$0 \leq n \leq 4 \quad N = (x - \xi)^2 + \left(\frac{y}{L/B}\right)^2$$

Zu beachten: Für  $x > 0$  sind die Integralwerte positiv,  
für  $x < 0$  negativ.

$x$	$y$	$\int_{-1}^{+1} \frac{\xi d\xi}{N}$	$\int_{-1}^{+1} \frac{\xi^3 d\xi}{N}$	$\int_{-1}^{+1} \frac{\xi^5 d\xi}{N}$	$\int_{-1}^{+1} \frac{\xi^7 d\xi}{N}$	$\int_{-1}^{+1} \frac{\xi^9 d\xi}{N}$
0	beliebig	0	0	0	0	0
0.1	0.4	5.8811799	0.40969890	0.13855988	0.082014383	0.058351423
	0.5	4.6249270	0.38649183	0.13714932	0.081596766	0.058110795
	0.6	3.7876371	0.36772470	0.13562621	0.081096953	0.057819344
	0.66..	3.3691165	0.35674841	0.13454614	0.080719799	0.057597515
	0.7	3.1897899	0.35160097	0.13398707	0.080518455	0.057478518
	0.8	2.7416246	0.33722147	0.13223668	0.079865111	0.057089962
	0.9	2.3932736	0.32408576	0.13038315	0.079140984	0.056655494
	1.0	2.1148158	0.31189261	0.12843587	0.078350295	0.056177080
	1.1	1.8872097	0.30044943	0.12640468	0.077497370	0.055656815
	1.2	1.6977608	0.28962683	0.12429940	0.076586597	0.055096901
	1.25	1.6144888	0.28441889	0.12322199	0.076110896	0.054802788
	1.3	1.5376798	0.27933435	0.12212961	0.075622388	0.054499625
	1.33..	1.4897062	0.27600945	0.12139361	0.075289873	0.054292636
	1.35	1.4666175	0.27436569	0.12102342	0.075121623	0.054187710
	1.4	1.4006881	0.26950640	0.11990451	0.074609148	0.053867341
	1.45	1.3406539	0.26463643	0.11877684	0.074085587	0.053538810
	1.5	1.2830455	0.26001144	0.11763527	0.073551290	0.053202439
0.2	0.3	15.933876	1.3366069	0.34251774	0.18414651	0.12791228
	0.4	11.745742	1.1473641	0.33150322	0.18279032	0.12739621
	0.5	9.2333099	1.0256729	0.32290783	0.18133266	0.12675318
	0.6	7.5588197	0.93802039	0.31542082	0.17973256	0.12598574
	0.66..	6.7218468	0.89104752	0.31076133	0.17858110	0.12540706
	0.7	6.3632303	0.87004189	0.30849585	0.17797986	0.12509816
	0.8	5.4670196	0.81455287	0.30187229	0.17607596	0.12409559
	0.9	4.7704521	0.76755980	0.29541565	0.17402735	0.12298374
	1.0	4.2136849	0.72666432	0.28905382	0.17184297	0.12176869
	1.1	3.7586349	0.69033804	0.28274804	0.16953300	0.12045677
	1.2	3.3799119	0.65755980	0.27647848	0.16710815	0.11905451
	1.25	3.2134600	0.64227081	0.27335426	0.16585607	0.11832157
	1.3	3.0599370	0.62762045	0.27023642	0.16457938	0.11756853
	1.33..	2.9640548	0.61817928	0.26816136	0.16371525	0.11705576
	1.35	2.9179104	0.61355059	0.26712489	0.16327943	0.11679624
	1.4	2.7861522	0.60001130	0.26401986	0.16195758	0.11600552
	1.45	2.6636037	0.58695935	0.26092167	0.16061517	0.11519721
	1.5	2.5493472	0.57435717	0.25783086	0.15925350	0.11437213
0.3	0.2	36.421395	4.2975166	0.86905616	0.36004875	0.22864982
	0.25	28.581945	3.6022524	0.80232159	0.35303596	0.22764492
	0.3	23.855852	3.1334026	0.75588169	0.34775289	0.22673057
	0.4	17.573822	2.5356521	0.69337310	0.33964462	0.22493371
	0.5	13.805392	2.1649689	0.65103933	0.33300931	0.22302750
	0.6	11.293921	1.9082504	0.61874406	0.32696375	0.22094582
	0.66..	10.038663	1.7752828	0.60054858	0.32307328	0.21945054
	0.7	9.5008460	1.7170202	0.59216463	0.32114733	0.21867020
	0.8	8.1568834	1.5670355	0.56915684	0.31539474	0.21620016
	0.9	7.1124278	1.4448240	0.54854327	0.30962679	0.21354325
	1.0	6.2777134	1.3422978	0.52962861	0.30380672	0.21071095
	1.1	5.5956135	1.2543060	0.51197946	0.29792029	0.20771674
	1.2	5.0280410	1.1774099	0.49531420	0.29196582	0.20457514
	1.25	4.7786322	1.1423480	0.48728887	0.28896460	0.20295371
	1.3	4.5486252	1.1092250	0.47944379	0.28594880	0.20130102
	1.33..	4.4049915	1.0881227	0.47430652	0.28393080	0.20018279
	1.35	4.3358710	1.0778460	0.47176428	0.28291972	0.19961895
	1.4	4.1385273	1.0480436	0.46423799	0.27987882	0.19790934
	1.45	3.9550057	1.0196732	0.45685452	0.27682762	0.19617402
	1.5	3.7839294	0.99260937	0.44960504	0.27376773	0.19441482

Im Falle symmetrischer Verteilungen  $\eta(-\xi) = \eta(\xi)$  ist dabei für ungerade Potenzen von  $\xi$  stets der absolute Betrag von  $\xi$  einzusetzen. Die Integralwerte sind in der Arbeit [2] in einer Tabelle zusammengestellt. Für den hier zu behandelnden unsymmetrischen Fall  $\eta(-\xi) \neq \eta(\xi)$  werden auch die Integralwerte der ungeraden Potenzen von  $\xi$  benötigt, wobei hier von  $\xi$  nicht der absolute Betrag genommen werden darf.

Deshalb sind in der vorliegenden Arbeit in Tabelle 1 die Größen

$$\int_{-1}^{+1} \frac{\xi^{2n+1}}{(x-\xi)^2 + \left(\frac{y}{L/B}\right)^2} d\xi \quad (n = 0, 1, 2, 3, 4)$$





Tabelle 1a

$$\int_{-1}^{+1} \frac{\xi / |\xi|}{N} d\xi \quad \text{in Abhängigkeit von } x \text{ und } y \text{ für Zylinder}$$

$$N = (x - \xi)^2 + \left(\frac{y}{L/B}\right)^2$$

x	y	$\int_{-1}^{+1} \frac{\xi /  \xi }{N} d\xi$	x	y	$\int_{-1}^{+1} \frac{\xi /  \xi }{N} d\xi$	x	y	$\int_{-1}^{+1} \frac{\xi /  \xi }{N} d\xi$	
0	beliebig	0	0,3	0,8	3,2791685	0,5	0,8	7,3595572	
0,1	0,4	1,2055432	0,9	2,9354522	0,9	6,4618096	0,5	0,9	6,4618096
0,5	1,0500290	1,0	2,6556482	1,0	5,7401313	1,0	5,7401313	1,1	5,1468813
0,6	0,93822806	1,1	2,4226015	1,2	2,2248675	0,6	0,05	179,75188	
0,66	0,87861028	1,25	2,1366656	1,3	2,0545155	0,075	119,42392	0,1	89,255412
0,7	0,85206580	1,33	2,0027873	1,35	1,9777699	0,15	59,078208	0,2	43,981332
0,8	0,78244459	1,35	1,9777699	1,4	1,9058736	0,25	34,916996	0,25	34,916996
0,9	0,72426088	1,45	1,8383473	1,5	1,7747755	0,3	28,869267	0,4	21,299715
1,0	0,67441279	0,4	40,547968	0,5	40,547968	0,5	16,748735	0,5	16,748735
1,1	0,63089451	0,15	27,125017	0,6	27,125017	0,6	13,708304	0,6	13,708304
1,2	0,59234327	0,2	20,404454	0,66	20,404454	0,66	12,185406	0,7	11,532080
1,25	0,57461776	0,25	16,365041	0,7	16,365041	0,7	11,532080	0,8	9,8968462
1,3	0,55779509	0,3	13,666364	0,8	13,666364	0,8	9,8968462	0,9	8,6229953
1,33	0,54704108	0,4	10,280595	0,9	10,280595	0,9	8,6229953	1,0	7,6027190
1,35	0,54179423	0,5	8,2365182	1,1	8,2365182	1,1	6,7673718		
1,4	0,52654480	0,6	6,8639162						
1,45	0,51169012	0,66	6,1729482						
1,5	0,49784425	0,7	5,8755438						
0,2	0,3	4,0936934	0,8	5,1277692					
0,4	3,2212427	0,9	4,5407878						
0,5	2,6851724	1,0	4,0667078						
0,6	2,3179095	1,1	3,6750432						
0,66	2,1296033	1,2	3,3454612						
0,7	2,0476208	1,25	3,1993738						
0,8	1,8383741	1,3	3,0638764						
0,9	1,6701923	1,35	2,9788538						
1,0	1,5310748	1,4	2,9378201						
1,1	1,4133717	1,45	2,8202195						
1,2	1,3119710	1,5	2,7102244						
1,25	1,2662307	0,5	2,6070978						
1,3	1,2233224	0,075	83,512117						
1,33	1,1961449	0,1	62,558726						
1,35	1,1829554	0,15	41,596220						
1,4	1,1448798	0,2	31,106119						
1,45	1,1088795	0,25	24,805238						
1,5	1,0747667	0,3	20,599181						
0,3	0,2	11,962373	0,4	15,329935					
0,25	9,6821061	0,5	12,156773						
0,3	8,1561115	0,6	10,032473						
0,4	6,2359650	0,66	8,9662519						
0,5	5,0709521	0,7	8,5082115						
0,6	4,2840715								
0,66	3,8857759								
0,7	3,7137429								
0,8									

für die verschiedenen Werte x, y zusammengestellt. Um den Zylinderquerschnitt bei bekannter Dipolverteilung zu berechnen, ist zuerst der Korrekturfaktor  $\alpha$  aus der Gl. (1) zu ermitteln, indem  $x = 0$  und  $y = 1$  gesetzt werden. Mit Hilfe der Tabelle 1 und der Integraltafel in [2] wird der Wert des Integrals und damit  $\alpha$  bestimmt.

Die Integraltabellen sind aufgestellt für das Verhältnis  $L/B = 8$ . In [2] ist gezeigt, wie sie für die Verhältnisse  $L/B \neq 8$  benutzt werden können.

Nachdem der Koeffizient  $\alpha$  bekannt ist, erfolgt die Ermittlung der Ordinaten des Zylinderquerschnitts. Zu jedem Wert x werden einige Werte y angenommen, und zwar so, daß der mutmaßliche Konturwert  $y^*$  dazwischen liegt. Für diese Wertpaare  $(x, y_1), (x, y_2), \dots$  wird dann mit Hilfe der in den Tab. 1 und in der Arbeit [2] tabellierten Integralwerte das Integral in Gl. (1) berechnet und mit dem Vorfaktor  $\frac{\alpha}{\pi} \frac{1}{L/B}$  multipliziert. Die so erhaltenen Ergebnisse werden als Funktionen von y mit x als Parameter aufgetragen. Die Schnittpunkte  $y^*$  dieser Kurven mit der Geraden

$$\frac{\alpha}{\pi} \frac{1}{L/B} \int_{-1}^{+1} \frac{\eta(\xi) d\xi}{(x - \xi)^2 + \left(\frac{y}{L/B}\right)^2} = 1$$

sind Punkte des gesuchten Zylinderquerschnitts.

### b) Rotationskörper

Wie bereits vorher erwähnt, ist der Rotationskörper durch seine Kontur in der xx-Ebene vollständig bestimmt. Die Gleichung dieser Kontur bei einer Dipolverteilung  $\eta(\xi)$  in normierter, dimensionsloser Form lautet:

$$\frac{\alpha}{2} \frac{1}{(L/B)^2} \int_{-1}^{+1} \frac{\eta(\xi) d\xi}{\left[(x - \xi)^2 + \left(\frac{z}{L/B}\right)^2\right]^{3/2}} = 1 \quad (2)$$

Tabelle 1a (Fortsetzung)

x	y	$\int_{-1}^{+1} \frac{\xi^{2n+1}}{N} d\xi$	x	y	$\int_{-1}^{+1} \frac{\xi^{2n+1}}{N} d\xi$
0,8	0,5 0,6 0,66 0,7 0,8 0,9	26,802368 21,481012 18,832962 17,702026 14,889412 12,722518	0,98	0,02 0,05 0,075 0,1 0,15 0,2 0,25 0,3 0,4 0,5 0,6 0,66 0,7 0,8 0,9	1151,3852 428,55633 269,37366 191,02302 115,18813 79,406375 59,191767 46,453479 31,600948
0,9	0,02 0,05 0,075 0,1 0,15 0,2 0,25 0,3 0,4 0,5 0,6 0,66 0,7 0,8 0,9	1005,7868 395,06151 259,35285 191,50960 123,70189 89,849003 69591168 56,139912 39,467000 29,628889 23,212373 20,073381 18,747065 15,493922 13,040819	0,99	0,02 0,05 0,075 0,1 0,15 0,2 0,25 0,3	1126,4379 396,16159 241,09582 167,76823 99,970259 69,208099 52,114402 41,290986
0,95	0,02 0,05 0,075 0,1 0,15 0,2 0,25 0,3 0,4 0,5 0,6	1110,4093 430,01972 278,92769 203,49170 128,35418 91,153822 69,164503 54,786310 37,405705 27,515420 21,272317	1,0	0,02 0,05 0,075 0,1 0,15	616,21797 241,05356 158,08379 116,76637 75,679655
0,96	0,02 0,05 0,075 0,1 0,15 0,2 0,25 0,3 0,4 0,5	1128,9215 434,21476 280,04247 203,16505 126,82935 89,290473 67,289786 53,033556 36,000565 26,430195	1,001 1,0012 1,0015 1,0018 1,002 1,0025 1,003 1,0035 1,004 1,005 1,006 1,008 1,01	0 821,75038 655,52608 544,77578 489,42849 389,86874 323,56089 276,24447 240,79173 191,22733 158,24835 117,13743 92,565101	
0,97	0,02 0,05 0,075 0,1 0,15 0,2 0,25 0,3 0,4 0,5	1144,2463 435,21822 278,13255 200,04671 123,05807 85,708876 64,136411 50,339578 34,081990 25,053391			

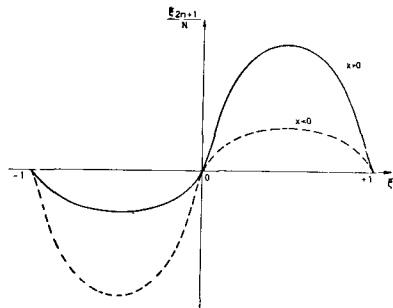
Die Bedeutung der einzelnen Größen ist die gleiche wie im Falle der Zylinder, nur daß hierbei an Stelle der y-Ordinate die z-Ordinate steht; die Bestimmung der Konturpunkte erfolgt völlig analog.. Die entsprechenden Literaturhinweise beziehen sich im Falle der Rotationskörper auf die Arbeiten [1; 3]. Hinsichtlich der Länge ist allerdings zu beachten, daß die Abweichung der Länge  $L^*$  des Rotationskörpers von der Länge L der Dipolverteilung auch im Rahmen unserer Rechengenauigkeit bemerkbar und deshalb genau zu ermitteln ist. Es gilt stets  $L < L^*$ .

Die Integralwerte

$$\int_{-1}^{+1} \frac{\xi^{2n+1}}{\left[(x-\xi)^2 + \left(\frac{z}{L/B}\right)^2\right]^{3/2}} d\xi \quad (n = 0, 1, 2, 3, 4)$$

für den Fall der Unsymmetrie sind in Tab. 2 der vorliegenden Veröffentlichung gebracht, die Integrale für symmetrische Verteilungen in [1] und in erweiterter Form in [3].

Es ist noch zu beachten, daß die Integrale für den unsymmetrischen Fall in den Tabellen 1 und 2 antisymmetrische Funktionen von x sind; das bedeutet, daß die in den Ta-

Abb. 2: Schematischer Verlauf der Funktionen  $\frac{\xi^{2n+1}}{N}$  ( $n=0,1,2,3,4$ )

Für Zylinder:  $N = (x-\xi)^2 + \left(\frac{y}{L/B}\right)^2$ ,

für Rotationskörper:  $N = \left[(x-\xi)^2 + \left(\frac{z}{L/B}\right)^2\right]^{3/2}$

bellen für  $x > 0$  positiven Werte für  $x < 0$  mit negativen Vorzeichen zu versehen sind. Der Verlauf der Funktionen unter dem Integralzeichen ist in Abb. 2 schematisch dargestellt; es handelt sich um keine maßstäbliche Zeichnung, durch die ja ein spezieller Fall dargestellt würde, sondern um die Aufzeichnung der allgemein gültigen Tendenz des Kurvenverlaufes für beliebige Werte n, x und y, bzw. z, da diese

Tabelle 1b

$$\int_{-1}^{+1} \frac{|\xi|^3 \xi}{N} d\xi \quad \text{in Abhängigkeit von } x \text{ und } y \text{ für Zylinder}$$

$$N = (x - \xi)^2 + \left(\frac{y}{L/B}\right)^2$$

x	y	$\int_{-1}^{+1} \frac{ \xi ^3 \xi}{N} d\xi$	x	y	$\int_{-1}^{+1} \frac{ \xi ^3 \xi}{N} d\xi$	x	y	$\int_{-1}^{+1} \frac{ \xi ^3 \xi}{N} d\xi$
0	beliebig	0	0,3	0,8	0,88137030	0,5	0,8	2,7641890
0,1	0,4	0,21119495		0,9	0,83384843		0,9	2,5020666
	0,5	0,20657238		1,0	0,79231948		1,0	2,2853123
	0,6	0,20222146		1,1	0,75525637		1,1	2,1020009
	0,66..	0,19939019		1,2	0,72164404	0,6	0,05	66,124214
	0,7	0,19798581		1,25	0,70590419		0,075	44,388879
	0,8	0,19379680		1,3	0,69078197		0,1	33,511112
	0,9	0,18962381		1,33..	0,68101518		0,15	22,613594
	1,0	0,18545442		1,35	0,67622051		0,2	17,145648
	1,1	0,18128555		1,4	0,66217113		0,25	13,850070
	1,2	0,17711896		1,45	0,64859188		0,3	11,641126
	1,25	0,17503783		1,5	0,63544641		0,4	8,8545275
	1,3	0,17295903	0,4	0,1	7,4687555		0,5	7,1572231
	1,33..	0,17157481		0,15	5,3056860		0,6	6,0063016
	1,35	0,17088328		0,2	4,2151302		0,66..	5,4219005
	1,4	0,16881138		0,25	3,5536938		0,7	5,1690457
	1,45	0,16673385		0,3	3,1069142		0,8	4,5290535
	1,5	0,16467552		0,4	2,5356391		0,9	4,0216120
0,2	0,3	0,59001148		0,5	2,1796295		1,0	3,6069487
	0,4	0,54655341		0,6	1,9316724		1,1	3,2629823
	0,5	0,51642040		0,66..	1,8025755	0,7	0,02	301,80541
	0,6	0,49293825		0,7	1,7458271		0,05	120,74045
	0,66..	0,47950194		0,8	1,5991283		0,075	80,483666
	0,7	0,47326059		0,9	1,4788196		0,1	60,341931
	0,8	0,45597536		1,0	1,3772484		0,15	40,174486
	0,9	0,44050698		1,1	1,2895437		0,2	30,066262
	1,0	0,42579729		1,2	1,2124572		0,25	23,982876
	1,1	0,41216049		1,25	1,1771640		0,3	19,912856
	1,2	0,39921072		1,3	1,1437370		0,4	14,795655
	1,25	0,39295274		1,33..	1,1223973		0,5	11,697286
	1,3	0,38682307		1,35	1,1119924		0,6	9,6117801
	1,33..	0,38280504		1,4	1,0817723		0,66..	8,5605095
	1,35	0,38081198		1,45	1,0529402		0,7	8,1078246
	1,4	0,37491131		1,5	1,0253779		0,8	6,9695847
	1,45	0,36911413	0,5	0,075	22,116223		0,9	6,0769819
	1,5	0,36341458		0,1	16,865882		1,0	5,3578102
0,3	0,2	1,7662492		0,15	11,601512	0,8	0,02	512,26602
	0,25	1,5522311		0,2	8,9555686		0,05	203,39192
	0,3	1,40611181		0,25	7,3572606		0,075	134,72843
	0,4	1,2158350		0,3	6,2829909		0,1	100,38086
	0,5	1,0936406		0,4	4,9211762		0,15	66,004266
	0,6	1,0056319		0,5	4,0847375		0,2	48,790219
	0,66..	0,95842346		0,6	3,5118793		0,25	38,444253
	0,7	0,93729148		0,66..	3,2182289		0,3	31,534796
				0,7	3,0903994		0,4	22,877654

Tendenz für Zylinder und Rotationskörper gleicherweise gilt. Für  $x = 0$  ist auch die Funktion unter dem Integralzeichen antisymmetrisch, d. h. der negative Flächeninhalt ist absolut gleich dem positiven Flächeninhalt und folglich der Gesamtwert des Integrals gleich Null. Mit wachsendem  $x$  verringert sich der Anteil der negativen Fläche immer mehr, und man erhält positive Integrale, die für  $x = 1$  schon sehr nahe an die entsprechenden Integralwerte des symmetrischen Falles herankommen, für den ja der Absolutwert  $|\xi|^{2n+1}$  genommen wird. Das Analoge gilt für  $x < 0$ , nur daß die negative und die positive Fläche gegenüber dem Fall  $x > 0$  miteinander vertauscht sind und sich folglich bei Anwachsen des Betrages von  $x$  der positive Flächeninhalt verringert. Die Gesamtwerte sind negativ.

Allgemein ausgedrückt:

$$\int_{-1}^{+1} \frac{\xi^{2n+1}}{N(x)} d\xi = - \int_{-1}^{+1} \frac{\xi^{2n+1}}{N(-x)} d\xi \quad (3)$$

Hierbei ist für Zylinder der in Gl. (1) angegebene Nenner einzusetzen, für Rotationskörper der Nenner aus Gl. (2)

**Beispiel für den Fall einer unsymmetrischen Dipolverteilung**  
Gegeben ist die Dipolverteilung

$$\eta = 1 - 1,5 \xi^2 + 0,5 \xi^3 + 0,5 \xi^4 - 0,5 \xi^5 \quad (4)$$

Wie ersichtlich, handelt es sich um eine zur  $\eta$ -Achse unsymmetrische Verteilung. Folglich wird auch der durch diese Verteilung erzeugte Zylinder unsymmetrisch zur  $y$ -Achse sein. Das Entsprechende gilt für die Erzeugung eines Rotationskörpers. Die Berechnung der Körperkontur erfolgt für  $L/B = 8$  nach der von Amtsberg in [1] entwickelten Methode, die auch in den Arbeiten [2; 3] für Zylinder und Rotationskörper dargestellt ist. Hier soll noch einmal ein kurzer Überblick gegeben werden.

Zuerst wird der Korrekturfaktor  $\alpha$  bestimmt (wie im vorhergehenden Abschnitt angegeben). Dann werden die folgenden Ausdrücke gebildet:

Tabelle 1b (Fortsetzung)

x	y	$\int_{-1}^{+1} \frac{ \xi ^3 \xi}{N} d\xi$	x	y	$\int_{-1}^{+1} \frac{ \xi ^3 \xi}{N} d\xi$
0,8	0,5 0,6 0,66.. 0,7 0,8 0,9	17,670280 14,195394 12,459189 11,715989 9,8626601 8,4294245	0,98	0,02 0,05 0,075 0,1 0,15 0,2 0,25 0,3 0,4 0,5 0,6 0,66.. 0,7 0,8 0,9	1101,7269 407,54668 254,73125 179,57455 106,96917 72,846159 53,663230 41,641181 27,739446
0,9	0,02 0,05 0,075 0,1 0,15 0,2 0,25 0,3 0,4 0,5 0,6 0,66.. 0,7 0,8 0,9	814,34214 319,61102 209,65326 154,66886 99,688797 72,221024 55,773550 44,847058 31,300098 23,311143 18,109993 15,571618 14,500977 11,881775 9,9157721	0,99	0,02 0,05 0,075 0,1 0,15 0,2 0,25 0,3	1098,4629 382,93724 231,21960 159,62576 93,678278 63,942366 47,528619 37,204190
0,95	0,02 0,05 0,075 0,1 0,15 0,2 0,25 0,3 0,4 0,5 0,6	1000,1960 386,10568 249,72216 181,62616 113,80599 80,248182 60,436689 47,507276 31,937379 23,138392 17,629212	1,0	0,02 0,05 0,075 0,1 0,15	607,60187 234,24133 152,05895 111,29365 70,972213
0,96	0,02 0,05 0,075 0,1 0,15 0,2 0,25 0,3 0,4 0,5	1037,9417 397,66775 255,56950 184,71767 114,39278 79,852830 59,652279 46,600057 31,086102 22,444588			
0,97	0,02 0,05 0,075 0,1 0,15 0,2 0,25 0,3 0,4 0,5	1073,4800 406,33806 258,54433 185,09920 112,75216 77,734779 57,575989 44,735862 29,707042 21,448974			

$$C^* \int_{-1}^{+1} \frac{\eta(\xi) d\xi}{N}$$

mit  $C^* = \frac{\pi}{\pi} \frac{1}{L/B}$

und  $N = (x - \xi)^2 + \left(\frac{y}{L/B}\right)^2$  für Zylinder

und  $C^* = \frac{\pi}{2} \frac{1}{(L/B)^2}$

$N = \left[ (x - \xi)^2 + \left(\frac{z}{L/B}\right)^2 \right]^{3/2}$  für Rotationskörper,

und über y bzw. z mit x als Parameter aufgezeichnet. Die Schnittpunkte der Kurven mit der Achse

$$C^* \int_{-1}^{+1} \frac{\eta(\xi) d\xi}{N} = 1$$

ergeben die Konturpunkte  $y^*$  für die Zylinder, bzw.  $z^*$  für die Rotationskörper.

Zur Berechnung der vorgenannten Integralausdrücke steht für Zylinder für „gerade“ Potenzen von  $\xi$ , zu denen auch die ungeraden Potenzen von  $|\xi|$  gehören, die Tab. in [2] zur Verfügung, für ungerade Potenzen die hier veröffentlicht Tab. 1 und 1a.

Für unsymmetrische Verteilungen, wie in dem vorliegenden Beispiel, ist die Rechnung nicht nur für  $x \geq 0$  durchzuführen wie im Falle der Symmetrie, sondern auch für  $x < 0$ .

In Tabelle 3 ist der Rechnungsgang für den Zylinder skizziert, der durch die in (3) gegebene Verteilung erzeugt wird; Abb. 3 zeigt die graphische Ermittlung der Konturpunkte  $y^*$ . In den Abbildungen 4 und 5 ist der Zylinderquerschnitt gezeichnet; Abb. 4 zeigt den Teil für  $x > 0$  und Abb. 5 den Teil für  $x < 0$ , der an der y-Achse gespiegelt und somit über positiven x-Werten aufgetragen ist. Zum Vergleich hiermit sind die Zylinderquerschnitte berechnet, die sich für die symmetrischen Verteilungen

$$\eta_v = 1 - 1,5 \xi^2 + 0,5 |\xi|^3 + 0,5 \xi^4 - 0,5 |\xi|^5 \quad (4a)$$

$$\eta_h = 1 - 1,5 \xi^2 - 0,5 |\xi|^3 + 0,5 \xi^4 + 0,5 |\xi|^5 \quad (4b)$$

ergeben.

(4a) gibt dabei die Verteilung, die dem unsymmetrischen Fall für  $0 \leq \xi \leq 1$  entspricht, nun aber als symmetrisch für das Intervall  $-1 \leq \xi \leq +1$  angenommen ist.

Der sich hieraus ergebende Querschnitt  $K_2$  ist in Abb. 4 mit dem Querschnitt  $K_1$  des unsymmetrischen Falles im vorderen Bereich für  $x \geq 0$  verglichen.

Die in  $-1 \leq \xi \leq +1$  symmetrische Verteilung (4b) ist gleich der unsymmetrischen Verteilung (4) im Bereich  $-1 \leq \xi \leq 0$ . Der dieser symmetrischen Verteilung entsprechende Zylinderschnitt  $K_2$  ist in Abb. 5 mit dem Querschnitt  $K_1$  der unsymmetrischen Verteilung im hinteren Bereich für  $x < 0$  verglichen. Der Vergleich der Kurven  $K_1$  und  $K_2$  in den Abbildungen 4 und 5 zeigt, daß nur geringe Abweichungen auftreten; an den Enden herrscht völlige Übereinstimmung; nur im mittleren Bereich läßt sich ein Unterschied der Kurven feststellen, der sich für  $|x| \rightarrow 1$  verringert.

Selbstverständlich ergibt sich auch für  $x = 0$  keine Differenz, da der Konturverlauf stetig ist. Hieraus erkennt man, daß zumindest bei diesem Beispiel die gegenseitige Wirkung der unterschiedlichen Verteilung im vorderen und hinteren Bereich aufeinander, bzw. der wechselseitige Einfluß der unterschiedlichen Querschnittsform für  $x < 0$  und  $x > 0$ , von sehr geringer Bedeutung ist.

Es wurde auch der Rotationskörper für die unsymmetrische Verteilung (4) bestimmt. Die Rechnung erfolgte völlig analog. Der Vergleich dieses Körpers mit dem aus den sym-

T a b e l l e 2

Integralwerte zur Berechnung von Rotationskörpern für den Fall der Unsymmetrie  
Zu beachten: Für  $x > 0$  sind die Integralwerte positiv,  
für  $x < 0$  negativ.

$$\int_{-1}^{+1} \frac{\xi^{2n+1}}{N} d\xi \text{ in Abhängigkeit von } x \text{ und } z$$

$$0 \leq n \leq 4$$

$$N = \left[ (x-\xi)^2 + \left(\frac{z}{L/B}\right)^2 \right]^{3/2}$$

$x$	$z$	$\int_{-1}^{+1} \frac{\xi d\xi}{N}$	$\int_{-1}^{+1} \frac{\xi^3 d\xi}{N}$	$\int_{-1}^{+1} \frac{\xi^5 d\xi}{N}$	$\int_{-1}^{+1} \frac{\xi^7 d\xi}{N}$	$\int_{-1}^{+1} \frac{\xi^9 d\xi}{N}$
0	beliebig	0	0	0	0	0
0.1	0.3	141.91770	2.9991440	0.35173902	0.15950439	0.10461368
	0.4	79.695909	2.2051593	0.33606576	0.15830501	0.10414493
	0.5	50.896457	1.7843593	0.32449150	0.15693064	0.10355143
	0.6	35.252680	1.5198456	0.31461710	0.15536888	0.10283729
	0.66..	28.497635	1.3900871	0.30852615	0.15422573	0.10229653
	0.7	25.820359	1.3345832	0.30557667	0.15362462	0.10200734
	0.8	19.698812	1.1950317	0.29699647	0.15170842	0.10106699
	0.9	15.502296	1.0844082	0.28869739	0.14963303	0.10002205
	1.0	12.500955	0.99341521	0.28058862	0.14741208	0.098878663
	1.1	10.280704	0.91648500	0.27262346	0.14505944	0.097643239
	1.2	8.5924241	0.85007149	0.26477869	0.14258887	0.096322353
	1.25	7.8962461	0.82003488	0.26089795	0.14131359	0.095631950
	1.3	7.2789472	0.79180063	0.25704417	0.14001388	0.094922697
	1.33..	6.9054877	0.77388518	0.25448989	0.13913463	0.094439805
	1.35	6.7290641	0.76518099	0.25321722	0.13869135	0.094195437
	1.4	6.2371433	0.74001622	0.24941720	0.13734760	0.093451014
	1.45	5.7953325	0.71616936	0.24564442	0.13598419	0.092690270
	1.5	5.3970659	0.69352220	0.24189930	0.13460265	0.091914044
	1.55	5.0368192	0.67197203	0.23818239	0.13320449	0.091123171
	1.6	4.7099173	0.65142909	0.23449431	0.13179116	0.090318478
	1.7	4.1408142	0.61305852	0.22720727	0.12892467	0.088670907
0.2	0.3	283.80336	14.468562	1.3872804	0.41794423	0.24691235
	0.4	159.35990	9.1474527	1.1351209	0.40277997	0.24486147
	0.5	101.76116	6.5780997	0.99927600	0.39213618	0.24268791
	0.6	70.473810	5.1107055	0.91130001	0.38317710	0.24028891
	0.66..	56.963874	4.4460839	0.86665483	0.37762124	0.23855091
	0.7	51.609404	4.1745458	0.84710856	0.37491081	0.23763988
	0.8	39.366580	3.5284975	0.79634393	0.36692430	0.23474159
	0.9	30.973853	3.0558489	0.75390379	0.35902898	0.23160494
	1.0	24.971503	2.6942121	0.71701532	0.35113640	0.22824548
	1.1	20.531365	2.4076048	0.68405536	0.34320746	0.22468098
	1.2	17.155197	2.1739857	0.65401694	0.33522906	0.22093028
	1.25	15.763047	2.0724073	0.63987931	0.33122131	0.21899111
	1.3	14.528662	1.9791748	0.62624544	0.32720236	0.21701261
	1.33..	13.781888	1.9211234	0.61741120	0.32451750	0.21567294
	1.35	13.429114	1.8932246	0.61306571	0.32317356	0.21499717
	1.4	12.445497	1.8136697	0.60029860	0.31913653	0.21294716
	1.45	11.562106	1.7397648	0.58790917	0.31509307	0.21086495
	1.5	10.765809	1.6708794	0.57586773	0.31104511	0.20875285
	1.55	10.045556	1.6064761	0.56414899	0.30699470	0.20661315
	1.6	9.3919989	1.5460948	0.55273119	0.30294392	0.20444810
	1.7	8.2542995	1.4358640	0.53072577	0.29484973	0.20005071
0.3	0.3	425.61488	42.863783	5.4687142	1.2019316	0.53235620
	0.4	238.95011	25.549376	3.7919341	1.0285373	0.51127425
	0.5	152.55252	17.376102	2.9610275	0.93358457	0.49693736
	0.6	105.62213	12.829261	2.4710058	0.87054711	0.48508047
	0.66..	85.357709	10.819693	2.2419983	0.83773154	0.47777945
	0.7	77.326263	10.011128	2.1465291	0.82312669	0.47422479
	0.8	58.962871	8.1249128	1.9132251	0.78436211	0.46376042
	0.9	46.374723	6.7876811	1.7349492	0.75085865	0.45341197
	1.0	37.372237	5.7963665	1.5923035	0.72079748	0.44305251
	1.1	30.713158	5.0348770	1.4740579	0.69313422	0.43262774
	1.2	25.650118	4.4327761	1.3733084	0.66723705	0.42212136
	1.25	23.562529	4.1768061	1.3280372	0.65482024	0.41683843
	1.3	21.711606	3.9452118	1.2855988	0.64270819	0.41153779
	1.33..	20.591892	3.8026956	1.2587122	0.63478847	0.40799531
	1.35	20.062957	3.7346775	1.2456576	0.63087234	0.40622173
	1.4	18.588223	3.5424537	1.2079333	0.61928932	0.40089287
	1.45	17.263843	3.3662439	1.1721899	0.60793998	0.39555411
	1.5	16.070121	3.2041161	1.1382275	0.59680851	0.39020855
	1.55	14.990481	3.0544350	1.1058754	0.58588183	0.38485936
	1.6	14.010898	2.9158079	1.0749873	0.57514905	0.37950980
	1.7	12.305895	2.6671112	1.0171135	0.55423031	0.36882268



$x$	$z$	$\int_{-1}^x \frac{\xi d\xi}{N}$	$\int_{-1}^x \frac{\xi^3 d\xi}{N}$	$\int_{-1}^x \frac{\xi^5 d\xi}{N}$	$\int_{-1}^x \frac{\xi^7 d\xi}{N}$	$\int_{-1}^x \frac{\xi^9 d\xi}{N}$
0.96	0.02	306876.31	282795.66	260628.41	240219.03	221425.70
	0.05	48833.069	44978.236	41445.055	38203.757	35228.325
	0.075	21533.198	19817.067	18252.259	16822.789	15515.290
	0.1	11984.848	11016.619	10139.214	9341.6959	8615.3097
	0.15	5180.9220	4746.2706	4358.0399	4009.2020	3694.5419
	0.2	2817.7107	2569.6002	2351.5295	2158.0564	1985.3783
	0.25	1738.3841	1576.6695	1436.9181	1314.5535	1206.5293
	0.3	1162.8442	1048.2019	950.81676	866.67103	793.19585
	0.4	608.65067	541.22220	485.85566	439.23995	399.39100
	0.5	365.14659	320.00853	284.13034	254.65306	229.95022
0.97	0.02	309831.07	291481.42	274241.99	258042.41	242817.79
	0.05	49109.792	46164.625	43412.925	40839.281	38430.444
	0.075	21539.076	20222.627	19000.621	17863.838	16804.822
	0.1	11908.075	11161.258	10473.290	9837.2970	9248.0006
	0.15	5070.9487	4730.9127	4423.0571	4142.4219	3885.4904
	0.2	2719.0547	2521.7464	2346.4179	2188.9543	2046.5992
	0.25	1658.4562	1527.6838	1413.6683	1312.7932	1222.7400
	0.3	1100.2380	1006.0400	925.44347	855.17526	793.21122
	0.4	570.85703	513.88820	466.87523	427.01282	392.66382
	0.5	341.73389	302.74047	271.62818	245.91500	224.21873
0.98	0.02	312339.94	299989.95	287976.15	276547.08	265589.42
	0.05	48986.650	46972.871	45057.751	43233.997	41495.716
	0.075	21201.398	20290.466	19431.677	18619.819	17850.980
	0.1	11548.626	11024.047	10534.359	10075.206	9643.4810
	0.15	4785.0842	4537.9403	4312.1016	4103.9961	3911.2448
	0.2	2516.6671	2368.3217	2235.6696	2115.5422	2005.9250
	0.25	1517.8985	1416.5551	1327.8233	1248.8029	1177.7149
	0.3	1001.6872	926.76802	862.48379	806.13704	756.12130
	0.4	519.39557	472.21715	433.23023	400.04039	371.29018
	0.5	312.48325	279.23923	252.69255	230.67762	212.01603
0.99	0.02	311973.94	305596.76	299370.61	293289.38	287348.11
	0.05	46751.247	45671.079	44629.810	43623.861	42650.722
	0.075	19408.931	18894.294	18404.553	17936.540	17488.143
	0.1	10231.976	9919.3952	9625.8770	9348.4717	9085.2713
	0.15	4094.4951	3932.8650	3784.9710	3648.1250	3520.6598
	0.2	2135.5213	2031.4131	1938.4155	1854.0159	1776.7041
	0.25	1292.6293	1217.6765	1152.1953	1093.8115	1041.1347
	0.3	860.00570	802.35597	753.02296	709.74952	671.24335
	0.4	454.42779	416.07363	384.46668	357.54452	334.17261
	0.5	278.05942	250.04650	227.73021	209.20967	193.47516
1.0	0.01	639200.37	637620.59	636060.44	634517.55	632990.45
	0.02	159600.37	158818.51	158053.54	157303.08	156565.70
	0.05	25440.375	25135.772	24844.446	24564.093	24293.317
	0.075	11271.486	11072.340	10884.897	10706.896	10536.986
	0.1	6320.3750	6173.7049	6037.6353	5909.9478	5789.3288
	0.15	2791.4861	2696.9454	2611.4767	2532.9428	2460.1028
	0.2	1560.3750	1491.6503	1430.9383	1376.1782	1326.1950
	0.25	992.37496	938.99325	892.82128	851.87018	815.02585
	0.3	684.81939	641.56974	604.88850	572.85499	544.41114
	0.4	380.37490	349.62020	324.45445	303.08334	284.54902
	0.5	240.37485	216.97528	198.43771	183.08262	170.03931
1.001	0	499500.37	498517.70	497550.91	496597.71	495656.70
1.0015		221889.26	221238.72	220602.49	219978.32	219364.87
1.002		124750.37	124265.64	123794.13	123333.62	122882.79
1.004		31125.374	30888.597	30662.460	30444.863	30234.577
1.006		13805.929	13651.302	13505.859	13367.600	13235.370
1.008		7750.3730	7636.5800	7530.9724	7431.6327	7337.4714
1.01		4950.3725	4860.9390	4778.9389	4702.5286	4630.6744
1.015		2189.2602	2132.0113	2080.8899	2034.2084	1991.0466
1.02		1225.3701	1183.9874	1147.8615	1115.4322	1085.8683
1.03		539.25653	513.43890	491.74442	472.81364	455.95006
1.04		300.36524	282.12274	267.27466	254.61638	243.55021
1.05		190.36288	176.54844	165.61106	156.47087	148.60663
1.06		130.91610	119.97972	111.53069	104.59253	98.705236

metrischen Verteilungen (4a) und (4b) zusammengesetzten Rotationskörper ergab so geringe Abweichungen, daß sie, bei Verwendung des gleichen Maßstabes wie im Falle der Zylinder, nicht mehr zeichnerisch erfaßt werden konnten. Abb. 6 zeigt den Längsschnitt K des Rotationskörpers im Bereich  $x > 0$ , Abb. 7 für  $x < 0$ .

In Tabelle 4 sind die Ordinaten  $y^*$  der Zylinder und die Ordinaten  $z^*$  der Rotationskörper für die Verteilungen (4), (4a) und (4b) zusammengestellt.

Damit wird nochmals ein numerischer Vergleich der Abweichungen ermöglicht, die auftreten, wenn man anstelle eines durch eine unsymmetrische Verteilung erzeugten Körpers (Zylinder oder Rotationskörper) den aus den beiden entsprechenden symmetrischen Verteilungen zusammengesetzten Körper nimmt. Es zeigt sich, daß schon im Falle des Zylinders der hierdurch entstehende Fehler sehr gering und

im Falle des Rotationskörpers völlig bedeutungslos ist. Im dreidimensionalen Fall ohne Rotationssymmetrie, welcher bedeutend komplizierter zu berechnen ist, dürfte der Fehler noch kleiner werden. Dies sind zwar die Ergebnisse eines einzigen Beispiels; aber es ist anzunehmen, daß bei anderen unsymmetrischen Verteilungen analoge Resultate auftreten. So darf man wohl schon aus diesem einen Beispiel die Schlüssefolgerung ziehen, daß sich, auf den Schiffbau angewandt, das Vor- und Hinterschiff hinsichtlich der Strömung nur unwesentlich beeinflussen und man demzufolge bei Widerstandsrechnungen das Vor- und Hinterschiff getrennt behandeln kann, so als ob es sich um zwei verschiedene, zum Hauptspant symmetrische Formen handelt. Zum Schluß setzt man die Ergebnisse zusammen. An Stelle einer unsymmetrischen Spantflächenkurve nimmt man zwei zum Hauptspant symmetrische Spantflächen an. Der hierbei auftretende Fehler wird ganz geringfügig sein.

T a b e l l e 2a

$$\int_{-1}^{+1} \frac{|\xi|}{N} d\xi \quad \text{in Abhängigkeit von } x \text{ und } z \text{ für Rotationskörper}$$

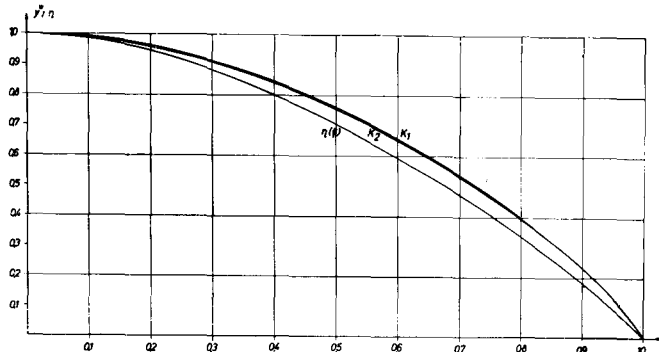
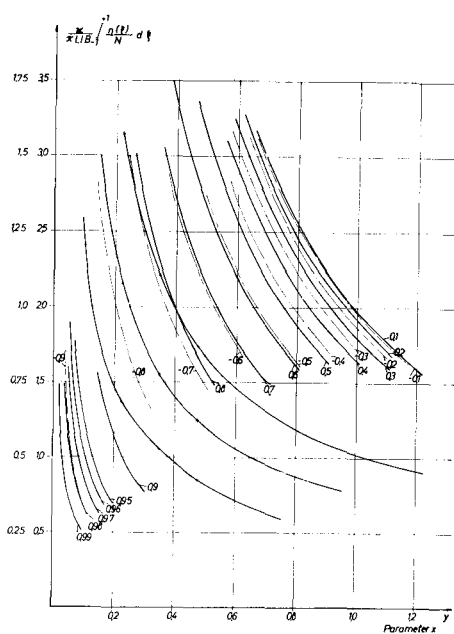
$$N = \left[ (x-\xi)^2 + \left(\frac{z}{L/B}\right)^2 \right]^{3/2}$$

x	z	$\int_{-1}^{+1} \frac{ \xi }{N} d\xi$	x	z	$\int_{-1}^{+1} \frac{ \xi }{N} d\xi$	x	z	$\int_{-1}^{+1} \frac{ \xi }{N} d\xi$
0	beliebig	0	0.4	0.8	34.281433	0.95	0.2	2706.8699
0.1	0.3	17.998144	0.9	27.344348	0.25	1680.5561		
	0.4	11.226091	1.0	22.345750	0.3	1129.4494		
	0.5	7.9309915	1.1	18.618313	0.4	593.63300		
	0.6	6.0378331	1.2	15.759893	0.5	355.57946		
	0.66..	5.1777090	1.25	14.573248	0.6	232.09320		
	0.7	4.8260179	1.3	13.516307	0.96	0.02	294586.48	
	0.8	3.9895816	1.33..	12.874417		0.05	46863.386	
	0.9	3.3795160	1.35	12.570482		0.075	20655.066	
	1.0	2.9155965	1.4	11.720424		0.1	11488.564	
	1.1	2.5511825	1.45	10.953368		0.15	4957.2360	
	1.2	2.2574583	1.5	10.258631		0.2	2689.4493	
	1.25	2.1309914	1.55	9.6272089		0.25	1654.3893	
	1.3	2.0157222	1.6	9.0514735		0.3	1103.0125	
	1.33..	1.9443862	1.7	8.0419970		0.4	573.12529	
	1.35	1.9102316	0.5	358.92568		0.5	341.14973	
	1.4	1.8133317	0.4	202.80483	0.97	0.02	300512.81	
	1.45	1.7240199	0.5	130.37139		0.05	47612.932	
	1.5	1.6414443	0.6	90.911200		0.075	20868.357	
	1.55	1.5648772	0.66..	73.823447		0.1	11526.774	
	1.6	1.4936925	0.7	67.038351		0.15	4896.4987	
	1.7	1.3653757	0.8	51.485944		0.2	2617.3001	
0.2	0.3	61.377555	0.9	40.779793		0.25	1590.6564	
	0.4	35.921068	1.0	33.088499		0.3	1051.1435	
	0.5	23.964891	1.1	27.372005		0.4	540.86605	
	0.6	17.354633	0.6	513.76825	0.98	0.02	306053.02	
	0.66..	14.450887	0.4	289.21423		0.05	47966.877	
	0.7	13.287200	0.5	185.11508		0.075	20738.998	
	0.8	10.587105	0.6	128.46315		0.1	11281.614	
	0.9	8.6901919	0.66..	103.95721		0.15	4658.5398	
	1.0	7.2977447	0.7	94.233705		0.2	2440.2505	
	1.1	6.2392655	0.8	71.968892		0.25	1465.3864	
	1.2	5.4114849	0.9	56.669995		0.3	962.64835	
	1.25	5.0626027	1.0	45.702542		0.4	494.55419	
	1.3	4.7487603	1.1	37.570749		0.5	294.81276	
	1.33..	4.5565717	0.7	695.34608	0.99	0.02	308766.01	
	1.35	4.4651167	0.4	389.94249		0.05	46205.999	
	1.4	4.2076619	0.5	248.45263		0.075	19148.226	
	1.45	3.9730494	0.6	171.52130		0.1	10073.042	
	1.5	3.7584674	0.66..	138.27661		0.15	4011.7188	
	1.55	3.5615377	0.7	125.09527		0.2	2081.8459	
	1.6	3.3802377	0.8	94.944744		0.25	1253.7461	
	1.7	3.0578468	0.9	74.268439		0.3	829.92663	
0.3	0.3	132.54926	1.0	59.481960		0.4	434.20679	
	0.4	75.979326	0.8	900.10987		0.5	263.15244	
	0.5	49.619978	0.3	501.58527	1.0	0.01	638407.81	
	0.6	35.183758	0.4	317.15415		0.02	159207.11	
	0.66..	28.899462	0.5	217.05243		0.05	25286.200	
	0.7	26.395537	0.6	173.88827		0.075	11170.239	
	0.8	20.629560	0.66..	156.80141		0.1	6245.5071	
	0.9	16.628879	0.7	117.81139		0.15	2742.8794	
	1.0	13.729985	0.8	91.194256		0.2	1524.8149	
	1.1	11.555234	0.02	259151.91		0.25	964.59090	
	1.2	9.877046	0.05	41422.203		0.3	662.18643	
	1.25	9.1768940	0.075	18381.586		0.4	364.12114	
	1.3	8.5511994	0.1	10317.280		0.5	227.89823	
	1.33..	8.1701377	0.15	4557.2207	1.001	0	499006.84	
	1.35	7.9893973	0.2	2541.6610		1.0015	221561.99	
	1.4	7.4827575	0.25	1609.3400		1.002	124506.15	
	1.45	7.0240136	0.3	1103.5319		1.004	31005.457	
	1.5	6.6070766	0.4	602.24557		1.006	13727.277	
	1.55	6.2268120	0.5	372.11674		1.008	7692.2691	
	1.6	5.8788645	0.6	248.69544		1.01	4904.5482	
	1.7	5.2655924	0.66..	196.15684		1.015	2159.7038	
0.4	0.3	231.75064	0.7	175.53848		1.02	1203.8661	
	0.4	131.62591	0.8	129.03205		1.03	525.69381	
	0.5	85.107557	0.02	288591.64		1.04	290.69471	
	0.6	59.721438	0.05	45999.808		1.05	182.98225	
	0.66..	48.709182	0.075	20330.793		1.06	125.03272	
	0.7	44.331473	0.1	11349.251				
			0.15	4941.0064				

Tabelle 2b

$\int_{-1}^1 \frac{|\xi|^3 \xi d\xi}{N}$  in Abhängigkeit mit x und z für Rotationskörper N =  $[(x - \xi)^2 + (\frac{z}{L/B})^2]^{3/2}$

x	y	$\int_{-1}^1 \frac{ \xi ^3 \xi d\xi}{N}$	x	y	$\int_{-1}^1 \frac{ \xi ^3 \xi d\xi}{N}$	x	y	$\int_{-1}^1 \frac{ \xi ^3 \xi d\xi}{N}$
0	beliebig	0	0,5	0,5	6,7132684	0,5	0,8	16,366573
0,1	0,3	0,7927559	0,6	5,2437615	0,9	0,9	13,406808	
	0,4	0,6901994	0,66	4,5791563	1,0	1,0	11,233731	
	0,5	0,62816011	0,7	4,3077830	1,1	1,1	9,5813761	
	0,6	0,58370648	0,8	3,6623435				
	0,66	0,55949635	0,9	3,1900361	0,4	192,52218		
	0,7	0,54851393	1,0	2,8282313	0,5	110,52224		
	0,8	0,51888321	1,1	2,5408929	0,6	72,398710		
	0,9	0,49292974	1,2	2,3060047	0,66	51,369783		
	1,0	0,46959352	1,25	2,2036070	0,7	42,185596		
	1,1	0,44823185	1,3	2,1094433	0,8	38,518851		
	1,2	0,42843117	1,33	2,0507130	0,9	30,053796		
	1,25	0,41902528	1,35	2,0224583	1,0	24,157388		
	1,3	0,40991223	1,4	1,9417738	1,1	19,869056		
	1,33	0,40398840	1,45	1,8666527				
	1,35	0,40106971	1,5	1,7964727	0,7	349,39813		
	1,4	0,39247865	1,55	1,7307043	0,4	198,38176		
	1,45	0,38412263	1,6	1,6688947	0,5	128,01107		
	1,5	0,37598740	1,7	1,5556455	0,6	89,485257		
	1,55	0,36806054	0,4	41,307564	0,66	72,727592		
	1,6	0,36033108	0,4	24,824489	0,7	66,055593		
	1,7	0,34542678	0,5	17,021904	0,8	50,711682		
0,2	0,3	3,9564809	0,6	12,566183	0,9	40,096168		
	0,4	2,8167197	0,66	10,7344448	1,0	32,435501		
	0,5	2,2419802	0,7	9,955451				
	0,6	1,8968089	0,8	8,1327329	0,8	584,04167		
	0,66	1,7330413	0,9	6,8340028	0,4	327,28821		
	0,7	1,6641808	1,0	5,8660856	0,5	208,00233		
	0,8	1,4941860	1,1	5,1184594	0,6	142,97884		
	0,9	1,3624184	1,2	4,5230104	0,66	114,83294		
	1,0	1,2556904	1,25	4,2702182	0,7	103,66565		
	1,1	1,1663106	1,3	4,0399619	0,8	78,112216		
	1,2	1,0895135	1,33	3,8979460	0,9	60,594415		
	1,25	1,0548199	1,35	3,8200748				
	1,3	1,0221977	1,4	3,6379296	0,9	209933,94		
	1,33	1,0014820	1,45	3,4613297	0,05	33565,494		
	1,35	0,9914105	1,5	3,2984268	0,075	14899,362		
	1,4	0,9622602	1,55	3,1476548	0,10	8365,0153		
	1,45	0,9345793	1,6	3,0076789	0,15	3696,2867		
	1,5	0,9082250	1,7	2,7556980	0,2	2061,6287		
	1,55	0,8830752	0,5	95,650210	0,25	1304,9813		
	1,6	0,8590245	0,4	55,903019	0,3	894,19571		
	1,7	0,8138662	0,5	37,240633	0,4	486,74404		
0,3	0,3	14,647866	0,6	26,925362	0,5	299,56375		
	0,4	9,2922969	0,66	22,394759	0,6	199,19651		
			0,7	20,579191	0,66	156,31148		
					0,7	139,77505		
					0,8	102,03056		



Links: Abb. 3:

Graphische Ermittlung der Punkte der Zylinderkontur:  
 $\eta(\xi) = 1 - 1.5 \xi^2 + 0.5 \xi^3 + 0.5 \xi^4 - 0.5 \xi^5$

Oben: Abb. 4:

Dipolverteilung für  $\eta_v = 1 - 1.5 \xi^2 + 0.5 \xi^3 + 0.5 \xi^4 - 0.5 \xi^5$   
 $K_1$  vordere Kontur entsprechend der unsymmetrischen Dipolverteilung:  $\eta = 1 - 1.5 \xi^2 + 0.5 \xi^3 + 0.5 \xi^4 - 0.5 \xi^5$

$K_2$  Kontur entsprechend der über den gesamten Querschnitt symmetrisch angenommenen Verteilung:

$$\eta = 1 - 1.5 \xi^2 + 0.5 |\xi|^3 + 0.5 \xi^4 - 0.5 |\xi|^5$$

Tabelle 2b (Fortsetzung)

x	y	$\int \frac{ \xi ^3 \xi d\xi}{N}$	x	y	$\int \frac{ \xi ^3 \xi d\xi}{N}$
0,96	0,02	260456,13	1,00	0,01	636838,25
	0,05	41509,005		0,02	158434,10
0,075		18339,452		0,05	24988,626
0,1		10231,544		0,075	10977,328
0,15		4445,8569		0,1	6104,5157
0,2		2428,7110		0,15	2653,2423
0,25		1502,4086		0,2	1460,4530
0,3		1005,4289		0,25	915,16151
0,4		523,25347		0,3	622,55893
0,5		310,00764		0,4	336,48092
0,6		200,04895		0,5	207,23296
0,96	0,02	271484,93	1,001	0	498032,50
	0,05	43173,405	1,0015		220918,99
0,075		19016,825	1,002		124028,41
0,1		10567,315	1,004		30774,360
0,15		4546,8500	1,006		13577,587
0,2		2457,2037	1,008		7582,9024
0,25		1504,3853	1,010		4819,1540
0,3		997,65214	1,015		2105,8178
0,4		512,28368	1,020		1165,3912
0,5		301,13356	1,030		502,18547
0,97	0,02	282727,47	1,040		274,37205
	0,05	44765,620	1,050		170,80834
0,075		19600,450	1,060		115,52460
0,1		10810,399			
0,15		4573,3201			
0,2		2431,6376			
0,25		1468,8517			
0,3		964,28895			
0,4		489,35318			
0,5		286,39301			
0,98	0,02	293874,37			
	0,05	46003,480			
0,075		19854,923			
0,1		10775,156			
0,15		4422,6218			
0,2		2300,2717			
0,25		1370,8328			
0,3		893,50312			
0,4		451,88590			
0,5		265,29915			
0,99	0,02	302465,23			
	0,05	45145,843			
0,075		18646,547			
0,1		9770,4737			
0,15		3857,4045			
0,2		1983,7155			
0,25		1183,9349			
0,3		776,82501			
0,4		399,58867			
0,5		238,32704			

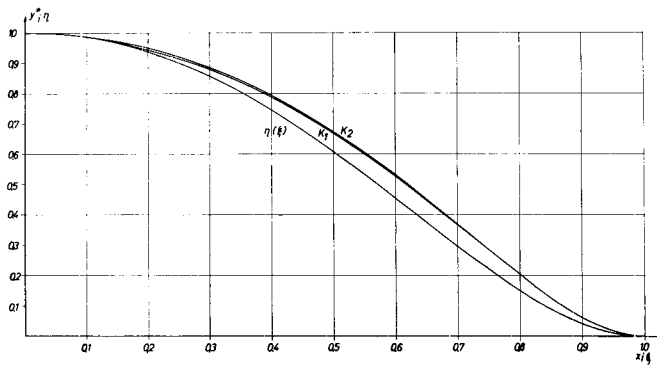


Abb. 5:

Dipolverteilung für  $\eta_h = 1 - 1.5 \xi^2 - 0.5 \xi^3 + 0.5 \xi^4 + 0.5 \xi^5$ K<sub>1</sub> hintere Kontur entsprechend der unsymmetrischen Dipolverteilung:  $\eta = 1 - 1.5 \xi^2 - 0.5 \xi^3 + 0.5 \xi^4 + 0.5 \xi^5$ K<sub>2</sub> Kontur entsprechend der über den gesamten Querschnitt symmetrisch angenommenen Verteilung:

$$\eta = 1 - 1.5 \xi^2 - 0.5 |\xi|^3 + 0.5 \xi^4 + 0.5 |\xi|^5$$

In Tab. 5 sind die Schärfegrade zusammengestellt, um dadurch die Unterschiede bzw. die Übereinstimmung dieser Größen aufzuzeigen.

x	y	$\int \frac{ \xi ^3 \xi d\xi}{N}$	x	y	$\int \frac{ \xi ^3 \xi d\xi}{N}$
1,00	0,01	636838,25	1,001	0	498032,50
	0,02	158434,10	1,0015		220918,99
	0,05	24988,626	1,002		124028,41
	0,075	10977,328	1,004		30774,360
	0,1	6104,5157	1,006		13577,587
	0,15	2653,2423	1,008		7582,9024
	0,2	1460,4530	1,010		4819,1540
	0,25	915,16151	1,015		2105,8178
	0,3	622,55893	1,020		1165,3912
	0,4	336,48092	1,030		502,18547
	0,5	207,23296	1,040		274,37205
			1,050		170,80834
			1,060		115,52460

Tabelle 3

Die Berechnung der Zylinderkontur für den Fall der unsymmetrischen Verteilung  $\eta = 1 - 1.5 \xi^2 + 0.5 \xi^3 + 0.5 \xi^4 - 0.5 \xi^5$ 

$$\text{Breitenkorrektur } z = \frac{\pi L/B}{\left[ \int_{-1}^{+1} \frac{\eta(\xi) d\xi}{N} \right]} ; L/B = 8$$

$$\text{Berechnung der Größen } \frac{\pi}{\pi L/B} \int_{-1}^{+1} \frac{\eta(\xi) d\xi}{N} \text{ für verschiedene}$$

Wertepaare x, y (Ausschnitt aus dem Rechenschema)

y \ x	0,1	0,2	0,3	....
0,4				.
0,5				.
0,6				.
0,7	1,489554	1,485112	1,347172	.
0,8	1,281196	1,235190	1,160464	.
0,9	1,119596	1,080094	1,015584	.
1,0	0,990446	0,956370	0,899977	.
1,1	0,885630	0,855454	0,805658	.
1,2	0,798375			.
y \ x	-0,1	-0,2	-0,3	....
0,4				.
0,5				.
0,6				.
0,7				.
0,8				.
0,9				.
1,0				.
1,1				.
1,2				.

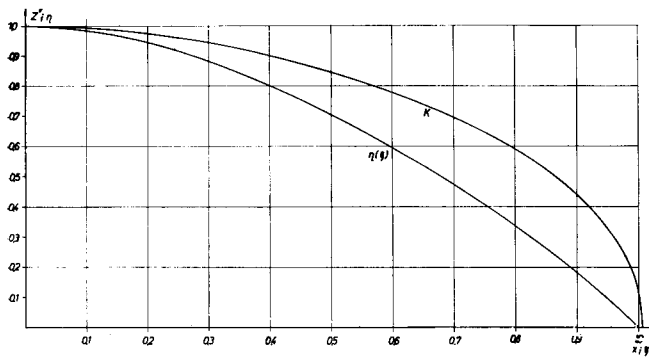


Abb. 6: Dipolverteilung für  
 $\eta_v = 1 - 1.5 \xi^2 + 0.5 \xi^3 + 0.5 \xi^4 + 0.5 \xi^5$   
K vordere Kontur entsprechend der unsymmetrischen Dipol-  
verteilung  $\eta = 1 - 1.5 \xi^2 + 0.5 \xi^3 + 0.5 \xi^4 - 0.5 \xi^5$

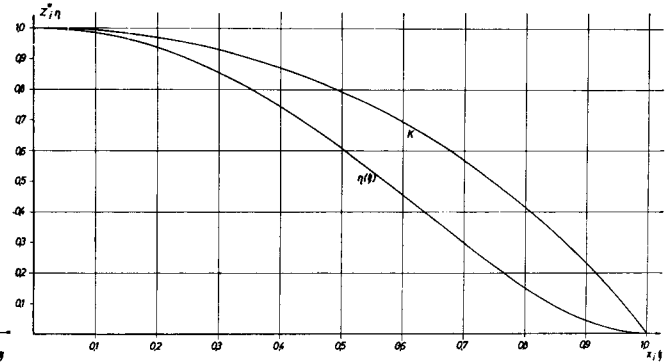


Abb. 7: Dipolverteilung für  
 $\eta_h = 1 - 1.5 \xi^2 - 0.5 \xi^3 + 0.5 \xi^4 + 0.5 \xi^5$   
K hintere Kontur entsprechend der unsymmetrischen Dipol-  
verteilung  $\eta = 1 - 1.5 \xi^2 - 0.5 \xi^3 + 0.5 \xi^4 + 0.5 \xi^5$

Tabelle 4

$Y^*_u$ , $Z^*_u$	Kontur des Zylinders, bzw. des Rotationskörpers aus der unsymmetrischen Verteilung
$\eta$	$= 1 - 1.5 \xi^2 + 0.5 \xi^3 + 0.5 \xi^4 - 0.5 \xi^5$
$Y^*_{zs}$ , $Z^*_{zs}$	Kontur des Zylinders, bzw. des Rotationskörpers zusammengesetzt aus den beiden symmetrischen Verteilungen
a)	$\eta = 1 - 1.5 \xi^2 + 0.5  \xi ^3 + 0.5 \xi^4 - 0.5  \xi ^5$
b)	$\eta = 1 - 1.5 \xi^2 - 0.5  \xi ^3 + 0.5 \xi^4 + 0.5  \xi ^5$
wobei a)	der Kontur des Vorschiffs und b) der Kontur des Hinterschiffs zugrunde gelegt ist.

X	$Y^*_u$	$Y^*_{zs}$	$Z^*_u$	$Z^*_{zs}$
-1,0077	—	—	0	0
-1	0	0	—	—
-0,99	—	—	0,023	0,023
-0,98	—	—	0,052	0,052
-0,97	0,0060	0,0061	0,075	0,076
-0,96	0,0110	0,0111	0,099	0,099
-0,95	0,0169	0,0171	0,120	0,122
-0,9	0,063	0,063	0,228	0,228
-0,8	0,204	0,205	0,414	0,414
-0,7	0,369	0,372	0,566	0,566
-0,6	0,527	0,532	0,690	0,691
-0,5	0,670	0,674	0,790	0,792
-0,4	0,786	0,793	0,868	0,870
-0,3	0,879	0,884	0,927	0,928
-0,2	0,942	0,948	0,967	0,969
-0,1	0,984	0,986	0,991	0,992
±0	1	1	1	1
+0,1	0,992	0,990	0,994	0,993
+0,2	0,962	0,957	0,975	0,975
+0,3	0,913	0,907	0,944	0,944
+0,4	0,845	0,840	0,903	0,902
+0,5	0,759	0,752	0,848	0,847
+0,6	0,656	0,651	0,780	0,779
+0,7	0,538	0,532	0,698	0,698
+0,8	0,398	0,394	0,592	0,591
+0,9	0,229	0,228	0,441	0,440
+0,95	0,130	0,128	0,329	0,329
+0,96	0,108	0,107	0,301	0,300
+0,97	0,085	0,085	0,268	0,267
+0,98	0,060	0,060	0,231	0,230
+0,99	0,033	0,034	0,186	0,185
+1,00	0	0	0,124	0,122
+1,0077	—	—	0	0

Tabelle 5

Die Schärfegrade des Vor- und Hinterschiffs:				
$\varphi_{vu}$	$\varphi_{vzs}$	$\varphi_{hu}$	$\varphi_{hzs}$	
Zylinder	0,682	0,677	0,593	0,596
Rot. Körp.	0,652	0,653	0,569	0,567

(Die Verteilungen sind in Tabelle 4 angegeben).

	$\varphi_{vu}$	$\varphi_{vzs}$	$\varphi_{hu}$	$\varphi_{hzs}$
Zylinder	0,682	0,677	0,593	0,596
Rot. Körp.	0,652	0,653	0,569	0,567

#### Die Geschwindigkeitsverteilung um die Körper

Für die in den Arbeiten [2] und [3] berechneten Zylinder und Rotationskörper sowie für die in der vorliegenden Arbeit aus einer unsymmetrischen Verteilung ermittelten Körper ist die Geschwindigkeitsverteilung um diese Körper bestimmt worden. Gesucht ist die Tangentialgeschwindigkeit in den einzelnen Konturpunkten; sie ergibt sich aus den Geschwindigkeitskomponenten in x- und y-Richtung, bzw. im Falle der Rotationskörper in x- und z-Richtung, wie folgt:

$$u_t = \sqrt{u_x^2 + u_y^2}, \quad (5)$$

oder in dimensionsloser Form:

$$\frac{u_t}{u_0} = \sqrt{\left(\frac{u_x}{u_0}\right)^2 + \left(\frac{u_y}{u_0}\right)^2}. \quad (5a)$$

Die Geschwindigkeitskomponenten  $\frac{u_x}{u_0}$  und  $\frac{u_y}{u_0}$ , bzw.  $\frac{u_z}{u_0}$

ergeben sich aus der Gleichung  $\psi$  der Stromlinien durch Differentiation. Hier sollen nur die Formeln genannt werden; ihre Entwicklung ist für  $\frac{u_x}{u_0}$  im Falle der Zylinder in [2], im Falle der Rotationskörper in [1] und [3] nachzulesen.

Für die Zylinder gilt:

$$\frac{u_x}{u_0} - \frac{\partial \psi}{\partial Y} = 1 - \frac{\pi}{\pi L/B} x \int_{-1}^{+1} \frac{\sigma(\xi) d\xi}{(x - \xi)^2 + \left(\frac{y}{L/B}\right)^2} + \frac{\pi}{\pi L/B} \int_{-1}^{+1} \frac{\xi \sigma(\xi) d\xi}{(x - \xi)^2 + \left(\frac{y}{L/B}\right)^2} \quad (6a)$$

Tab. 6 Die Tangentialgeschwindigkeit an den Zylindern.

x	$u_t/u_o$					
	a(L/B=6)	a(L/B=8)	a(L/B=10)	a(L/B=12)	b(L/B=6)	b(L/B=8)
0	1,1997	1,1524	1,1231	1,1032	1,2516	1,1945
0,1	1,198069	1,15115	1,12197	1,102304	1,246821	1,190387
0,2	1,193169	1,147128	1,118706	1,09950	1,232298	1,178012
0,3	1,184845	1,140408	1,11311	1,094683	1,207579	1,157102
0,4	1,17227	1,130447	1,104796	1,087539	1,171702	1,127032
0,5	1,15481	1,116498	1,093251	1,077629	1,123504	1,087474
0,6	1,13062	1,097283	1,0773277	1,064147	1,061497	1,037886
0,7	1,09689	1,070634	1,0553416	1,045751	0,984285	0,978895
0,8	1,04664	1,031237	1,0230597	1,018145	0,893805	0,913444
0,9	0,95904	0,963021	0,967767	0,971541	0,806532	0,857698
0,95	0,87236	0,896132	0,913666	0,926478	0,783270	0,845540
0,96					0,782883	0,845912
0,97	0,81027	0,848040	0,87507	0,894391	0,784501	0,847688
0,98				0,869542		
0,99	0,68165	0,748247	0,79510		0,78075	0,84220

x	$u_t/u_o$					
	b(L/B=10)	b(L/B=12)	c(L/B=8)	d(L/B=8)	e(L/B=8)	f(L/B=8)
0	1,1585	1,1336	1,1730	1,1875	1,1879	1,1302
0,1	1,154908	1,130486	1,170235	1,181163	1,178365	1,142910
0,2	1,144192	1,121027	1,160933	1,162684	1,150548	1,165644
0,3	1,126083	1,105174	1,148049	1,133612	1,108294	1,182633
0,4	1,100438	1,082879	1,127945	1,097839	1,060892	1,174370
0,5	1,067141	1,054254	1,102159	1,062007	1,026072	1,146439
0,6	1,026250	1,019588	1,069165	1,035709	1,027029	1,094817
0,7	0,978938	0,980294	1,028598	1,028093	1,071231	1,021349
0,8	0,929280	0,940970	0,979137	1,036740	1,133745	0,934872
0,9	0,887654	0,907563	0,915947	1,029957	1,149639	0,859464
0,95	0,880950	0,902548	0,871193	0,980239		0,835070
0,96		0,903162				0,830343
0,97			0,843888	0,927055		0,82489
0,98			0,823835			
0,99				0,701912		

$$\frac{u_z}{u_0} = -\frac{\partial \psi}{\partial X} = +\frac{\pi y}{\pi (L/B)^2} \int_{-1}^{+1} \frac{\sigma(\xi) d\xi}{(x-\xi)^2 + \left(\frac{y}{L/B}\right)^2} \quad (6b)$$

Mit  $\sigma(\xi)$  ist die normierte Quell-Senkenverteilung bezeichnet; sie steht zu der normierten Dipolverteilung  $\eta(\xi)$  in folgender Beziehung:

$$\sigma(\xi) = -\frac{d\eta}{d\xi} \quad (7)$$

Die Gleichung (7) gilt sowohl für die Erzeugung von Zylindern als auch von Rotationskörpern durch Singularitätsverteilungen.

Die Formeln für die Geschwindigkeitskomponenten im Falle der Rotationskörper lauten:

$$\begin{aligned} \frac{u_x}{u_0} &= -\frac{1}{2\pi Z} \frac{\partial \psi}{\partial Z} = \\ &= 1 - \frac{\pi}{4} \frac{1}{(L/B)^2} \left[ x \int_{-1}^{+1} \frac{\sigma(\xi) d\xi}{[(x-\xi)^2 + \left(\frac{z}{L/B}\right)^2]^{3/2}} - \right. \\ &\quad \left. - \int_{-1}^{+1} \frac{\xi \sigma(\xi) d\xi}{[(x-\xi)^2 + \left(\frac{z}{L/B}\right)^2]^{3/2}} \right] \quad (8a) \end{aligned}$$

$$\begin{aligned} \frac{u_z}{u_0} &= -\frac{1}{2\pi Z} \frac{\partial \psi}{\partial X} = \\ &= \frac{\pi}{4} \frac{z}{(L/B)^3} \int_{-1}^{+1} \frac{\sigma(\xi) d\xi}{\left[(x-\xi)^2 + \left(\frac{z}{L/B}\right)^2\right]^{3/2}} \quad (8b) \end{aligned}$$

Aus den Gleichungen (6a), (6b) und (8a), (8b) ist ersichtlich, daß die Geschwindigkeiten — wie die Konturen der Körper — mit Hilfe der in [1], [2] und [3] aufgestellten Integraltafeln berechnet werden können, da die Quell-Senkenverteilung  $\sigma(\xi)$  ebenfalls ein Polynom in  $\xi$  ist, wenn die Dipolverteilung  $\eta(\xi)$  als ein solches vorgegeben ist. Es erwies sich allerdings als notwendig — wie bereits zu Beginn der vorliegenden Arbeit erwähnt —, den Umfang der Integraltafeln zu erweitern, da für die Berechnung der Geschwindigkeiten auch die ungeraden Potenzen von  $\xi$  ohne Betragszeichen, nämlich  $\xi^{2n+1}$ , ( $n = 0, 1, 2, \dots$ ) und die Potenzen  $|\xi| \cdot \xi$  und  $|\xi|^3 \cdot \xi$  benötigt wurden. Die entsprechenden Integraltabellen sind in der vorliegenden Veröffentlichung als Tab. 1, 1a, 1b, 2, 2a und 2b gebracht. Die Ermittlung der Geschwindigkeiten an den Körpern erfolgt — analog der Bestimmung der Körperkonturen —, mit Hilfe der Integraltabellen durch graphische Interpolation, da die

Tab. 6a Die Tangentialgeschwindigkeit an den Zylindern.

x	$u_t/u_o$					
	g(L/B=6)	g(L/B=8)	g(L/B=10)	g(L/B=12)	g(L/B=20)	h(L/B=8)
0	1,1498	1,1007	1,0727	1,0560	1,0241	1,1377
0,1	1,167239	1,12052	1,092715	1,075535	1,042147	1,14053
0,2	1,202545	1,153898	1,130557	1,111464	1,070982	1,147822
0,3	1,230281	1,183	1,157085	1,136331	1,089894	1,156308
0,4	1,236217	1,19205	1,162316	1,140921	1,092749	1,16131
0,5		1,17156	1,143168	1,122950	1,079419	1,15411
0,6	1,162195	1,12341	1,099509	1,083172	1,050383	1,12418
0,7	1,076269	1,04841	1,033717	1,024978	1,010773	1,06025
0,8	0,957628	0,95238	0,954076	0,957282	0,968619	0,95715
0,9	0,824208	0,85654	0,880801	0,898436	0,935945	0,859592
0,95		0,81831		0,877574		0,84801
0,96				0,873697		
0,97		0,80276				0,84227
0,98		0,79293				0,83162

x	$u_t/u_o$					
	f(L/B=8)	k(L/B=8)	l(L/B=8)	m(L/B=8)	n_v(L/B=8)	o_v(L/B=8)
0	1,1155	1,1041	1,1907	1,1887		1,172967
0,1	1,111795	1,106360	1,18435	1,184157	1,159351	1,167864
0,2	1,12648	1,115690	1,168183	1,17128	1,151419	1,158226
0,3	1,14262	1,135787	1,14415	1,14902	1,139182	1,144745
0,4	1,163275	1,163872	1,11483	1,11960	1,123504	1,128267
0,5	1,177720	1,18783	1,081954	1,08337	1,105230	1,109186
0,6	1,16968	1,18833	1,04700	1,04269	1,084153	1,087467
0,7	1,11951	1,14319	1,01059	1,00091	1,059167	1,061910
0,8	1,01016	1,03158	0,97196	0,96154	1,025627	1,027801
0,9	0,87329	0,879365	0,92477	0,92197	0,987161	0,968605
0,95	0,84346	0,84089	0,88717	0,890928	0,905233	0,906129
0,96					0,885065	0,885658
0,97	0,83088	0,82546	0,86147	0,86786	0,858794	0,859245
0,98			0,84165	0,84916	0,821696	0,821876
0,99	0,76912	0,75707			0,759721	0,759012

Integralwerte nicht direkt für die Konturpunkte aus den Tab. 6b Die Tangentialgeschwindigkeit an den Zylindern, Tabellen entnommen werden können, sondern nur die Werte für benachbarte Punkte.

Es folgt nun eine Zusammenstellung der Beispiele, für welche die Geschwindigkeitsverteilung berechnet worden ist; es handelt sich dabei durchweg um Körper, die in den Arbeiten [2] und [3] berechnet wurden, mit Ausnahme des Beispiels einer unsymmetrischen Verteilung, das in der vorliegenden Arbeit behandelt ist.

Es werden die Dipolverteilungen  $\eta(\xi)$  angegeben und die entsprechenden Quell-Senkenverteilungen  $\sigma(\xi)$ . Dabei gilt folgende Gliederung:

Der erste Buchstabe vor der Verteilung betrifft die Einordnung des Beispiels bei den Zylindern, der zweite Buchstabe die Einordnung bei den Rotationskörpern. Bei Angabe nur eines Buchstabens bezieht dieser sich auf die Zylinder, da einige Verteilungen, die bei den Zylindern berücksichtigt sind, bei den Rotationskörpern in Fortfall kamen, weil bei letzteren diese Fälle bereits von Amtsberg [1] oder anderen Wissenschaftlern erschöpfend behandelt worden sind. Die zugrunde gelegten Verteilungen sind also folgende:

x	$u_t/u_o$	
	$n_h(L/B=8)$	$\sigma_h(L/B=8)$
0		
-0,1	1,181386	1,172694
-0,2	1,172972	1,166095
-0,3	1,157565	1,151829
-0,4	1,133680	1,128971
-0,5	1,099771	1,095828
-0,6	1,054087	1,050966
-0,7	0,995192	0,992857
-0,8	0,924086	0,922772
-0,9	0,852984	0,852775
-0,95	0,832704	0,832864
-0,96	0,831894	0,832363
-0,97	0,832791	0,833057

Tab. 7 Die Tangentialgeschwindigkeit an den Rotationskörpern.

x	$u_t/u_o$					
	a(L/B=8)	b(L/B=8)	c(L/B=8)	d(L/B=8)	e(L/B=8)	f(L/B=8)
0	1,03639	1,04427	1,04775	1,01294	1,01125	0,9985
0,1	1,03596	1,04204	1,04400	1,02122	1,0236	1,01090
0,2	1,03435	1,036066	1,03333	1,03591	1,0478	1,03309
0,3	1,03119	1,02664	1,01779	1,046005	1,0669	1,04930
0,4	1,02780	1,01512	0,997956	1,04800	1,07456	1,05516
0,5	1,02274	1,004375	0,98495	1,041163	1,0894	1,050586
0,6	1,01596	0,99878	0,98948	1,025775	1,0517	1,03581
0,7	1,00701	1,00357	1,01822	1,002520	1,0211	1,01184
0,8	0,994907	1,02033	1,06107	0,97274	0,9767	0,978814
0,9	0,971648	1,036606	1,08853	0,94332	0,91656	0,93752
0,95	0,951618	1,021265	1,06526	0,92073	0,8736	0,910685
0,97	0,929096	0,99322		0,903413	0,8448	0,89530
0,98	0,910683	0,96451	1,00577	0,889690	0,8191	0,87588
0,99	0,865040	0,90846		0,855065		0,82500
1,0	0,694201	0,79325	0,898439	0,65199	0,6145	0,66142

x	$u_t/u_o$					
	e(L/B=10)	e(L/B=12)	e(L/B=20)	f(L/B=8)	g(L/B=8)	h(L/B=8)
0	0,9936	0,9917	0,9920	1,0206	1,0133	1,0096
0,1	1,0052	1,00241	1,0001	1,02231	1,01410	1,01010
0,2	1,0247	1,0194	1,0096	1,02726	1,01790	1,01311
0,3	1,0382	1,03072	1,0157	1,03421	1,02661	1,02311
0,4	1,04276	1,03438	1,01746	1,041046	1,03970	1,03943
0,5	1,0378	1,03066	1,0152	1,044276	1,05228	1,05630
0,6	1,0264	1,02039	1,0095	1,03891	1,05641	1,06421
0,7	1,0082	1,00503	1,0012	1,01915	1,04211	1,05181
0,8	0,9825	0,984536	0,9914	0,98051	0,99903	1,00919
0,9	0,9524	0,9624	0,9818	0,93694	0,94428	0,947582
0,95	0,9331	0,9495	0,9770	0,933725	0,934366	0,93435
0,97	0,9206	0,9404	0,9736	0,93129	0,927325	0,92489
0,98	0,9116	0,9306	0,9703	0,92033	0,913896	0,90114
0,99	0,8815	0,9067	0,9596	0,88743	0,877657	0,870215
1,0		0,6840		0,747086	0,74967	0,75781

Abb. 8a—8o: Zylinderquerschnitte und zugehörige Geschwindigkeitsverteilungen  $u_t/u_o$ .

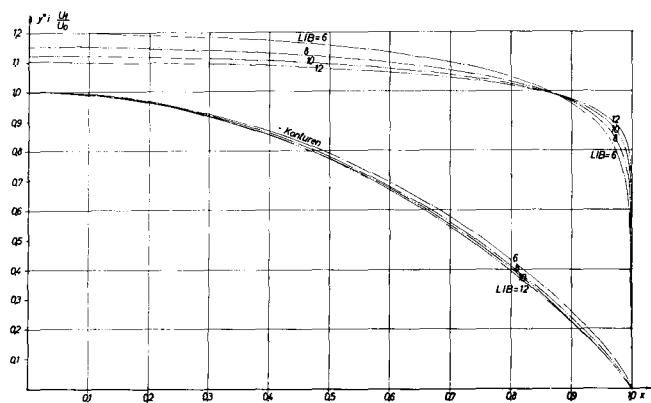


Abb. 8a: Dipolverteilung  $\eta = 1 - \xi^2$

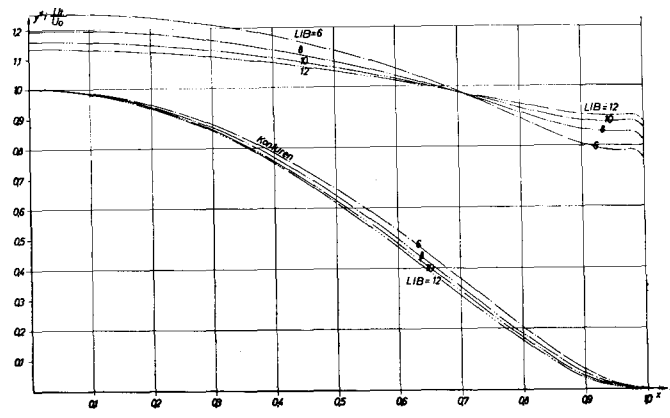


Abb. 8b: Dipolverteilung  $\eta = (1 - \xi^2)^2$

Tab. 7a Die Tangentialgeschwindigkeit an den Rotationskörpern.

x	$u_t/u_o$			
	i(L/B=8)	k(L/B=8)	$l_v(L/B=8)$	$m_v(L/B=8)$
0	1,0443	1,0427	1,0332	1,0364
0,1	1,04212	1,04157	1,03222	1,03442
0,2	1,03686	1,038052	1,03040	1,03180
0,3	1,03008	1,03257	1,02775	1,02869
0,4	1,02267	1,025045	1,02483	1,02556
0,5	1,015187	1,015997	1,02202	1,02258
0,6	1,00779	1,005964	1,01964	1,02000
0,7	1,00039	0,996087	1,01739	1,01763
0,8	0,992539	0,98723	1,01391	1,01430
0,9	0,979946	0,97831	1,00149	1,00211
0,95	0,961854	0,96510	0,96585	0,97684
0,97	0,94155	0,94746	0,93753	0,94830
0,98	0,92000	0,92775	0,92156	0,91511
0,99	0,88158	0,88665	0,86978	0,86539
1,0	0,70643	0,713	0,73967	0,75374

x	$u_t/u_o$	
	$l_h(L/B=8)$	$m_v(L/B=8)$
0	1,03960	1,0364
-0,1	1,03930	1,03730
-0,2	1,03812	1,03703
-0,3	1,03516	1,03486
-0,4	1,03123	1,03051
-0,5	1,02376	1,02339
-0,6	1,01279	1,01245
-0,7	0,99319	0,99606
-0,8	0,97110	0,97089
-0,9	0,92823	0,92848
-0,95	0,88804	0,88748
-0,97	0,86230	0,86299
-0,98	0,84254	0,84217
-0,99	0,80059	0,81532

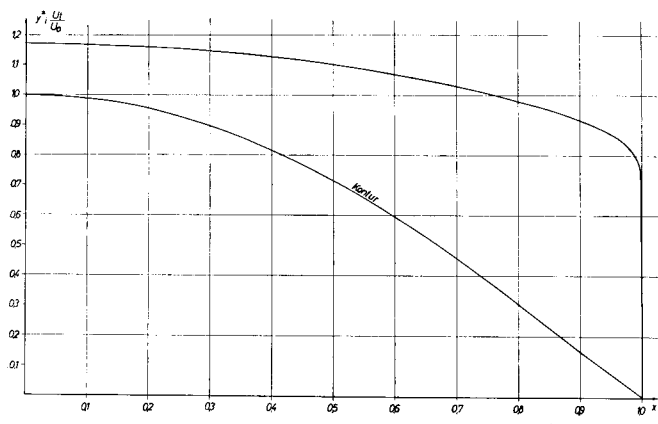


Abb. 8c: Dipolverteilung  $\eta = 1 - 1.5 \xi^2 + 0.5 \xi^4$

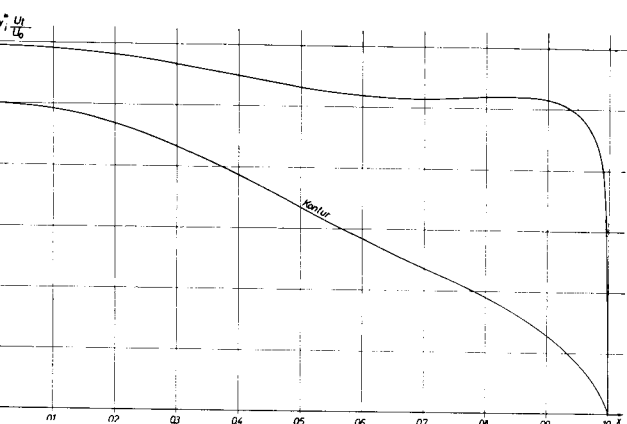


Abb. 8d:  
Dipolverteilung  $\eta = 1 - 2.447 \xi^2 + 3.461 \xi^4 - 2.014 \xi^6$

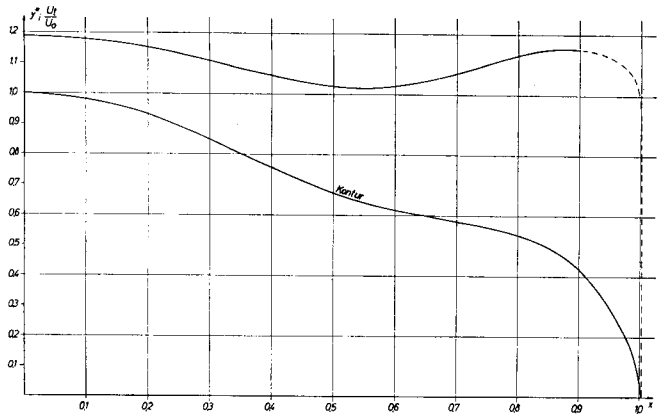


Abb. 8e:

$$\text{Dipolverteilung } \eta = 1 - 3.197 \xi^2 + 6.667 \xi^4 - 4.470 \xi^6$$

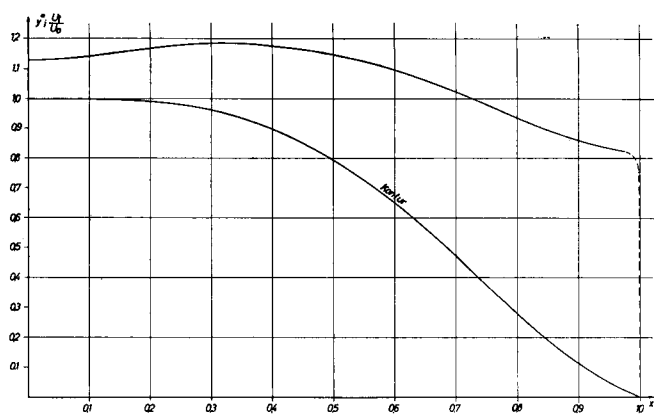


Abb. 8f: Dipolverteilung

$$\begin{aligned} \eta = 1 &+ 4.348\,576 \xi^2 - 16.497\,001/\xi^3 + 13.336\,623 \xi^4 \\ &- 2.188\,198 \xi^6 \end{aligned}$$

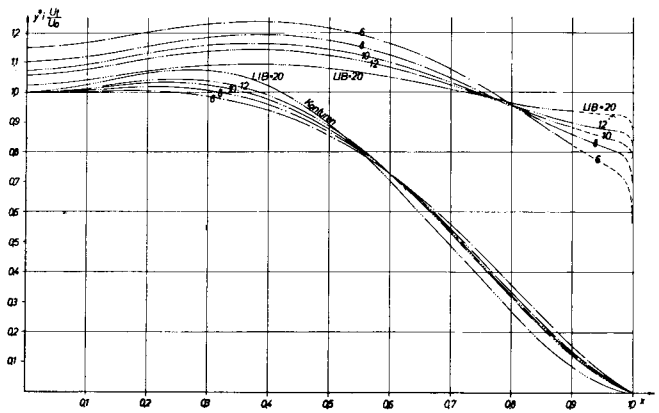


Abb. 8g: Dipolverteilung

$$\begin{aligned} \eta = 1 &+ 7.122\,190 \xi^2 - 22.834\,333/\xi^3 + 17.373\,743 \xi^4 \\ &- 2.661\,600 \xi^6 \end{aligned}$$

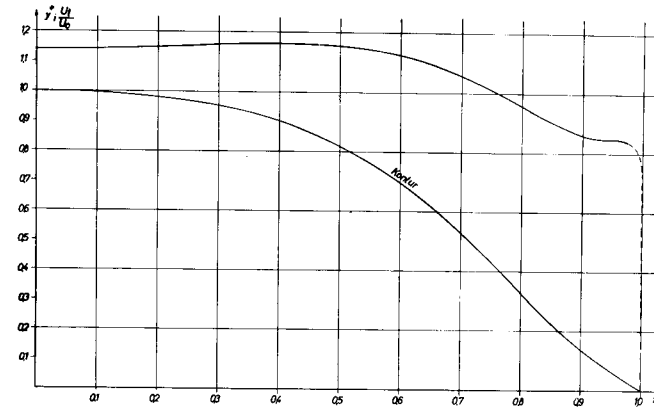


Abb. 8h: Dipolverteilung

$$\begin{aligned} \eta = 1 &- 2.201\,597 \xi^4 - 2.956\,804 \xi^6 + 8.151\,835 \xi^8 \\ &- 3.993\,434 \xi^{10} \end{aligned}$$

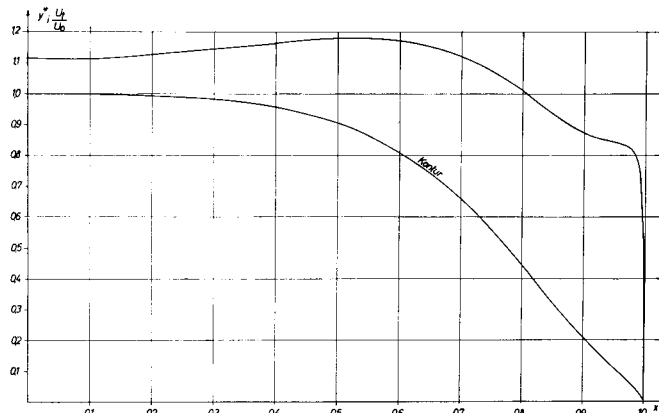


Abb. 8i: Dipolverteilung

$$\begin{aligned} \eta = 1 &+ 3.334\,713 \xi^4 - 20.092\,792 \xi^6 + 26.279\,743 \xi^8 \\ &- 10.521\,664 \xi^{10} \end{aligned}$$

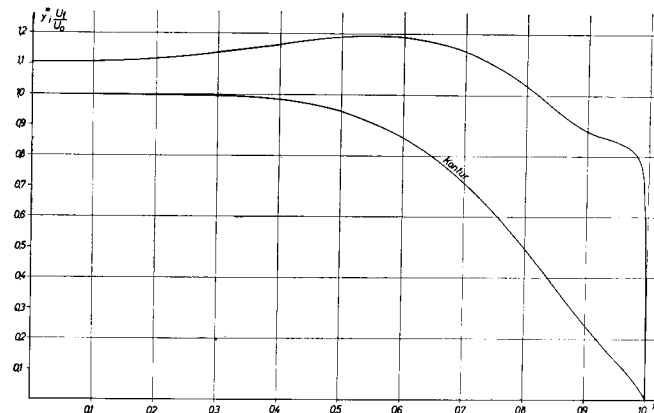


Abb. 8k: Dipolverteilung

$$\begin{aligned} \eta = 1 &+ 6.102\,868 \xi^4 - 28.660\,786 \xi^6 + 35.343\,697 \xi^8 \\ &- 13.785\,779 \xi^{10} \end{aligned}$$

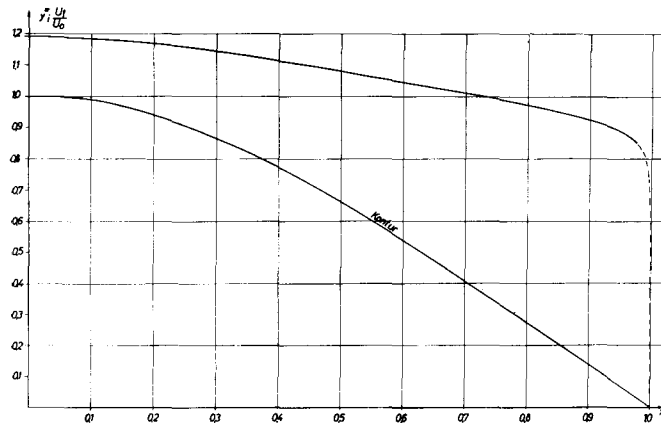


Abb. 8l: Dipolverteilung  $\eta = 1 - 2.7 \xi^2 + 2.4/\xi^3 - 0.7 \xi^4$

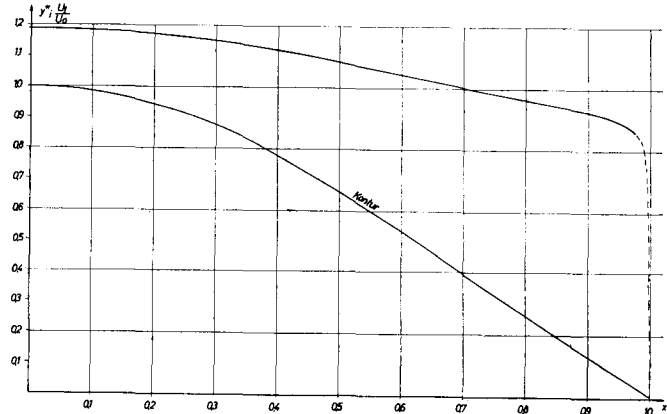


Abb. 8m: Dipolverteilung  
 $\eta = 1 - 2.025 \xi^2 + 1.55 \xi^4 - 0.525 \xi^6$

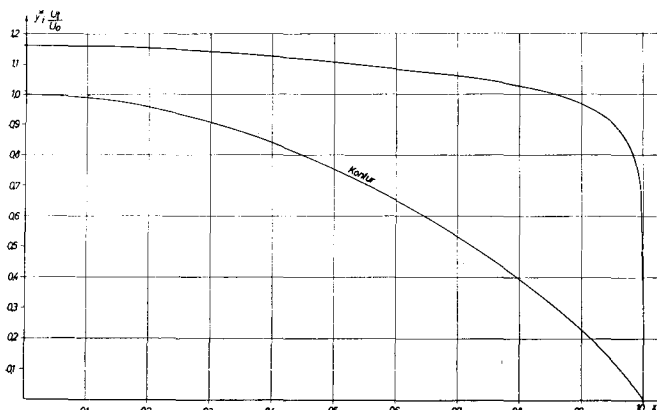


Abb. 8n<sub>v</sub>: Dipolverteilung  
 $\eta = 1 = -1.5 \xi^2 + 0.5/\xi^3 + 0.5 \xi^4 - 0.5/\xi^5$

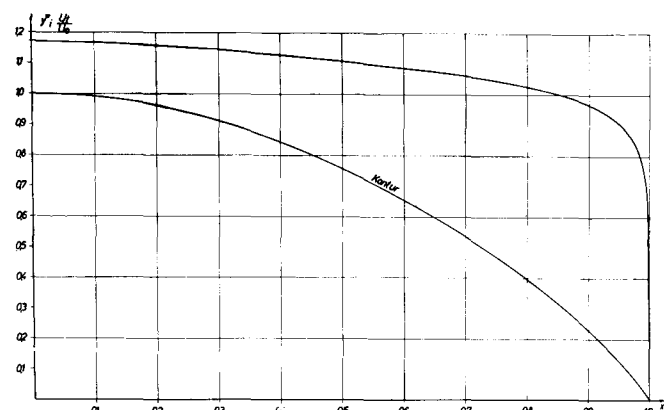


Abb. 8o: Vordere Kontur aus der Dipolverteilung  
 $\eta = 1 - 1.5 \xi^2 + 0.5 \xi^3 + 0.5 \xi^4 - 0.5 \xi^5$

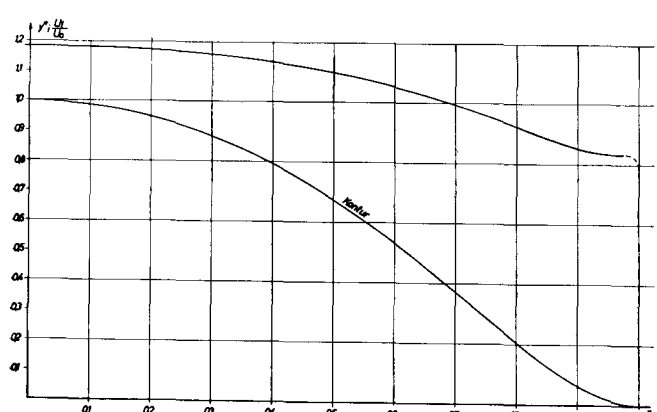


Abb. 8n<sub>h</sub>: Dipolverteilung  
 $\eta = 1 - 1.5 \xi^2 - 0.5/\xi^3 + 0.5 \xi^4 + 0.5/\xi^5$

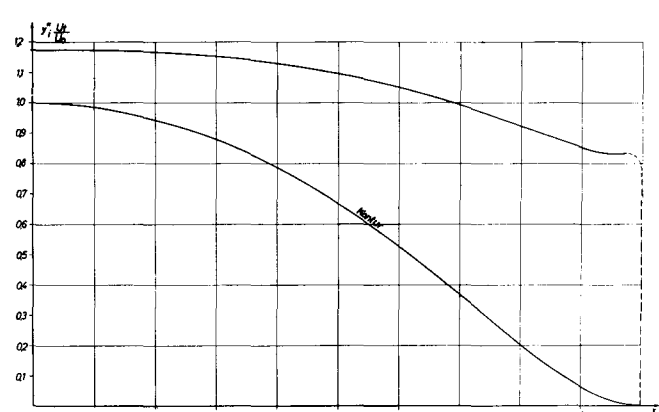


Abb. 8o: Hintere Kontur aus der Dipolverteilung  
 $\eta = 1 - 1.5 \xi^2 - 0.5 \xi^3 + 0.5 \xi^4 + 0.5 \xi^5$

Abb. 9a—9m: Längsschnitte der Rotationskörper und zugehörige Geschwindigkeitsverteilungen.

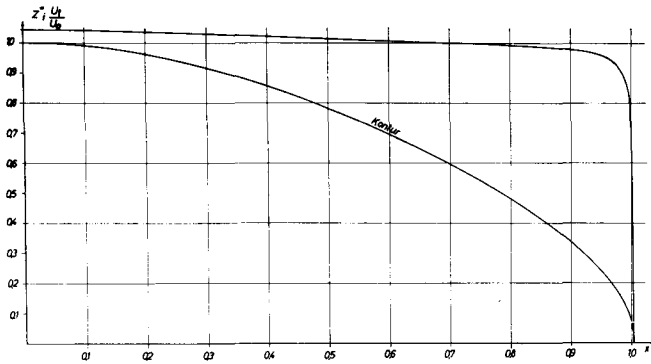


Abb. 9a: Dipolverteilung  $\eta = 1 - 1.5 \xi^2 + 0.5 \xi^4$

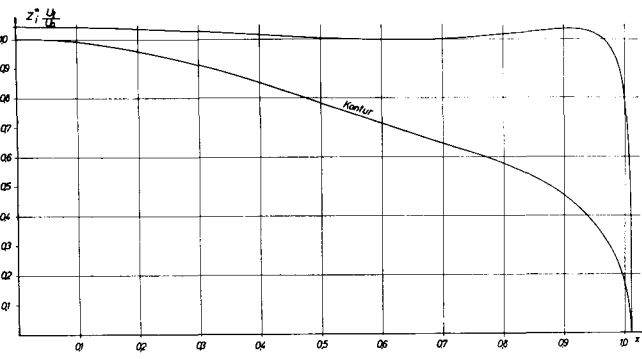


Abb. 9b: Dipolverteilung  
 $\eta = 1 - 2.447 \xi^2 + 3.461 \xi^4 - 2.014 \xi^6$

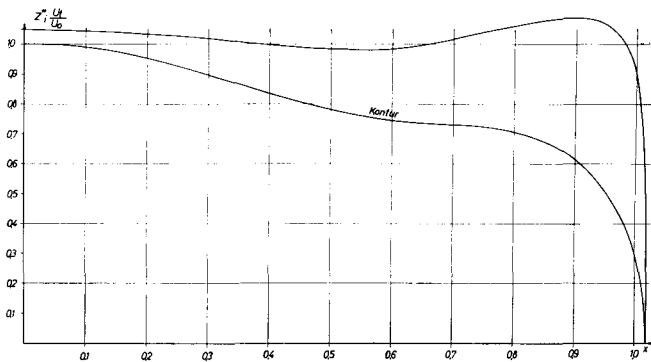


Abb. 9c: Divolverteilung  
 $\eta = 1 - 3.197 \xi^2 + 6.667 \xi^4 - 4.470 \xi^6$

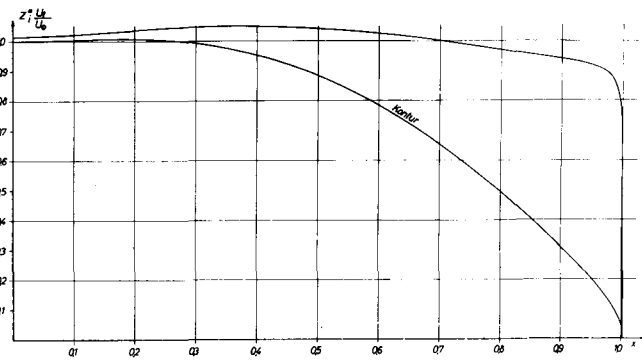


Abb. 9d: Dipolverteilung  
 $\eta = 1 + 4.348576 \xi^2 - 16.497001 \xi^3 + 13.336623 \xi^4 - 2.188198 \xi^6$

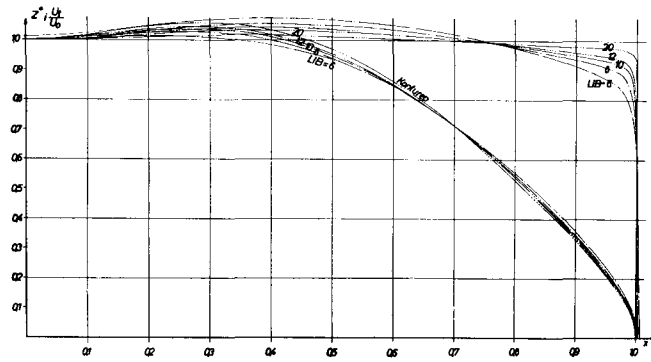


Abb. 9e: Dipolverteilung  
 $\eta = 1 + 7.122190 \xi^2 - 22.834333 \xi^3 + 17.373743 \xi^4 - 2.661600 \xi^6$

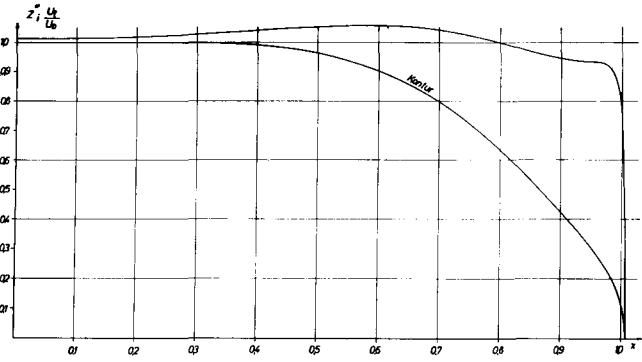


Abb. 9f: Dipolverteilung  
 $\eta = 1 - 2.201597 \xi^4 - 2.956804 \xi^6 + 8.151835 \xi^8 - 3.993434 \xi^{10}$

a)  $\eta = 1 - \xi^2$   
 $\sigma = 2 \xi$

b)  $\eta = (1 - \xi^2)^2$   
 $\sigma = 4 \xi (1 - \xi^2)$

c), a)  $\eta = 1 - 1.5 \xi^2 + 0.5 \xi^4$   
 $\sigma = 3 \xi - 2 \xi^3$

d), b)  $\eta = 1 - 2.447 \xi^2 + 3.461 \xi^4 - 2.014 \xi^6$   
 $\sigma = 4.894 \xi - 13.844 \xi^3 + 12.084 \xi^5$

e), c)  $\eta = 1 - 3.197 \xi^2 + 6.667 \xi^4 - 4.470 \xi^6$   
 $\sigma = 6.394 \xi - 26.667 \xi^3 + 26.820 \xi^5$

f), d)  $\eta = 1 + 4.348576 \xi^2 - 16.497001 \xi^3 + 13.336623 \xi^4 - 2.188198 \xi^6$   
 $\sigma = -8.697152 \xi + 49.491003 \xi^3 - 53.346492 \xi^5 + 13.129188 \xi^6$

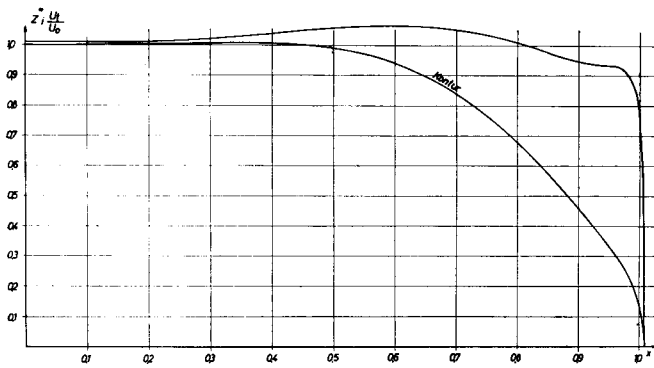


Abb. 9g: Dipolverteilung

$$\eta = 1 + 3.334\,713\,\xi^4 - 20.092\,792\,\xi^6 + 26.279\,743\,\xi^8 - 10.521\,664\,\xi^{10}$$

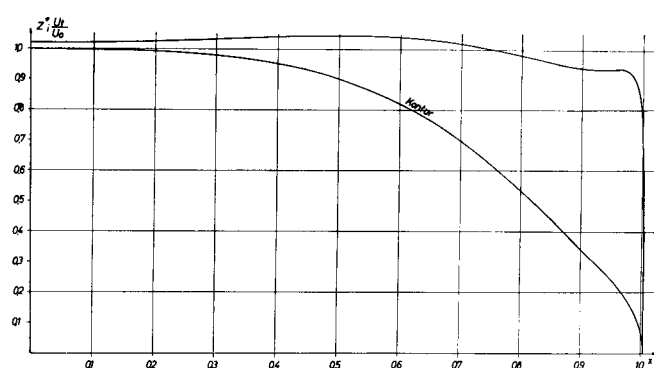


Abb. 9h: Dipolverteilung

$$\eta = 1 + 6.102\,868\,\xi^4 - 28.660\,786\,\xi^6 + 35.343\,697\,\xi^8 - 13.785\,779\,\xi^{10}$$

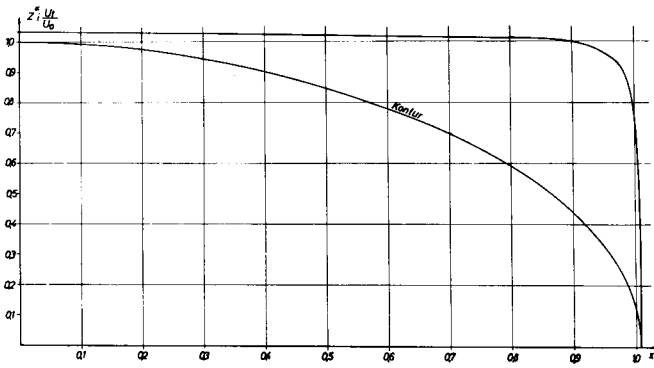


Abb. 9i: Dipolverteilung  $\eta = 1 - 2.7\,\xi^2 + 2.4/\xi^3 - 0.7\,\xi^4$

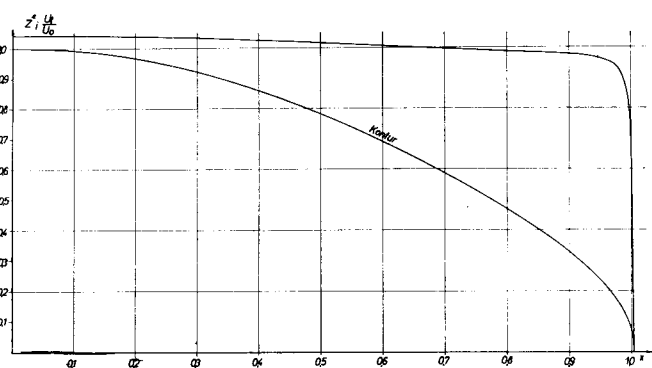


Abb. 9k: Dipolverteilung

$$\eta = 1 - 2.025\,\xi^2 + 1.55\,\xi^4 - 0.525\,\xi^6$$

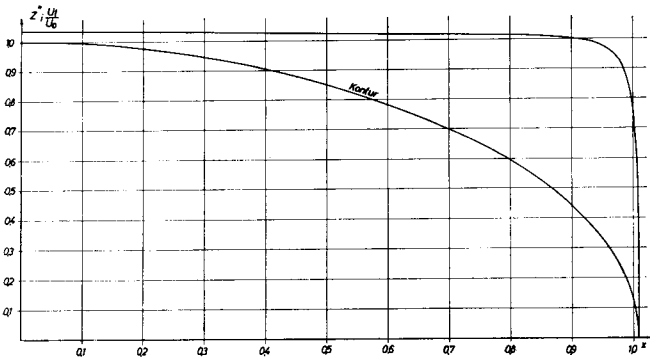


Abb. 9l\_v: Dipolverteilung

$$\eta = 1 - 1.5\,\xi^2 + 0.5/\xi^3 + 0.5\,\xi^4 - 0.5/\xi^5$$

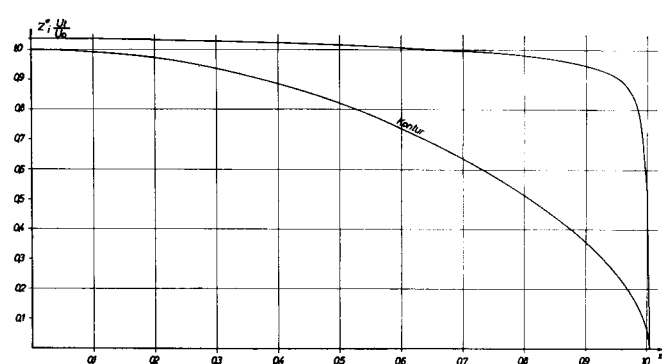


Abb. 9m: Vordere Kontur aus der Dipolverteilung

$$\eta = 1 - 1.5\,\xi^2 + 0.5\,\xi^3 + 0.5\,\xi^4 - 0.5\,\xi^5$$

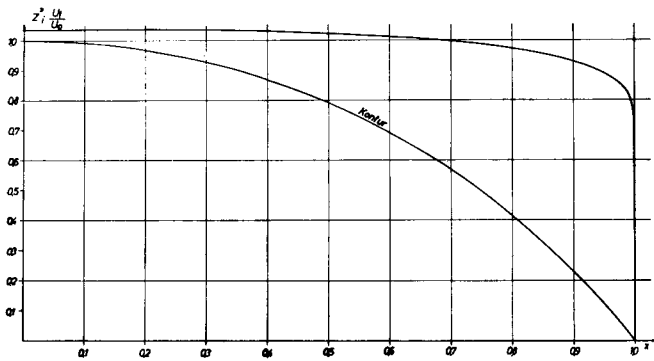


Abb. 9l\_h: Dipolverteilung

$$\eta = 1 - 1.5\,\xi^2 - 0.5/\xi^3 + 0.5\,\xi^4 + 0.5/\xi^5$$

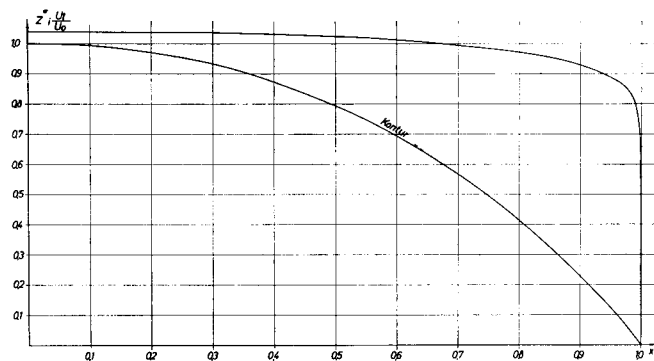


Abb. 9m: Hintere Kontur aus der Dipolverteilung

$$\eta = 1 - 1.5\,\xi^2 - 0.5\,\xi^3 + 0.5\,\xi^4 + 0.5\,\xi^5$$

- g), e)  $\eta = 1 + 7,122190 \xi^2 - 22,834333 |\xi|^3 +$   
 $+ 17,373743 \xi^4 - 2,661600 \xi^6$   
 $\sigma = -14,244380 \xi + 68,502999 |\xi| \cdot \xi -$   
 $- 69,494972 \xi^3 + 15,969600 \xi^5$
- h), f)  $\eta = 1 - 2,201597 \xi^4 - 2,956804 \xi^6 +$   
 $+ 8,151835 \xi^8 - 8,993434 \xi^{10}$   
 $\sigma = 8,806388 \xi^3 + 17,740824 \xi^5 -$   
 $- 65,214680 \xi^7 + 39,93434 \xi^9$
- i), g)  $\eta = 1 + 3,334713 \xi^4 - 20,092792 \xi^6 +$   
 $+ 26,279743 \xi^8 - 10,521664 \xi^{10}$   
 $\sigma = -13,338852 \xi^3 + 120,556752 \xi^5 -$   
 $- 210,237944 \xi^7 + 105,21664 \xi^9$
- k), h)  $\eta = 1 + 6,102868 \xi^4 - 28,660786 \xi^6 +$   
 $+ 35,343697 \xi^8 - 13,785779 \xi^{10}$   
 $\sigma = -24,411472 \xi^3 + 171,964716 \xi^5 -$   
 $- 282,749576 \xi^7 + 187,85779 \xi^{10}$
- l), i)  $\eta = 1 - 2,7 \xi^2 + 2,4 |\xi|^3 - 0,7 \xi^4$   
 $\sigma = 5,4 \xi - 7,2 |\xi| \cdot \xi + 2,8 \xi^3$
- m), k)  $\eta = 1 - 2,025 \xi^2 + 1,55 \xi^4 - 0,525 \xi^6$   
 $\sigma = 4,050 \xi - 6,20 \xi^3 + 3,150 \xi^5$
- n\_v), l\_v)  $\eta = 1 - 1,5 \xi^2 + 0,5 |\xi|^3 + 0,5 \xi^4 - 0,5 |\xi|^5$   
 $\sigma = 3,0 \xi - 1,5 |\xi| \cdot \xi - 2,0 \xi^3 + 2,5 |\xi|^3 \cdot \xi$
- n\_h), l\_h)  $\eta = 1 - 1,5 \xi^2 - 0,5 |\xi|^3 + 0,5 \xi^4 + 0,5 |\xi|^5$   
 $\sigma = 3,0 \xi + 1,5 |\xi| \cdot \xi - 2,0 \xi^3 - 2,5 |\xi|^3 \cdot \xi$
- o), m)  $\eta = 1 - 1,5 \xi^2 + 0,5 \xi^3 + 0,5 \xi^4 - 0,5 \xi^5$   
 $\sigma = 3,0 \xi - 1,5 \xi^2 - 2,0 \xi^3 + 2,5 \xi^4$

Die Ergebnisse der Rechnung sind in den Tab. 6 und 7 zusammengestellt; die Abb. 8 und 9 enthalten die Körperkonturen und die zugehörigen Geschwindigkeitsverteilungen. Durch den Vergleich letzterer Größen für die verschiedenen Körper erkennt man den Einfluß der Körperform auf die Geschwindigkeit und damit auf den Reibungswiderstand. Man sieht, daß bei den besonders dicken Körpern, für welche die Dipolverteilungen Anschwellungen aufweisen, die maximale Geschwindigkeit nicht am Hauptspant auftritt, sondern — in Abhängigkeit von der Stärke der Anschwelling — in einem gewissen Abstand vom Hauptspant. Dabei kann es vorkommen, daß die Geschwindigkeit am Hauptspant kleiner ist als die Translationsgeschwindigkeit  $u_0$ .

Beim Auftreten von „Schwanenhälsen“ — das sind wulstartige Verdickungen an den Körperenden — ist, hervorgerufen durch diese, ein nochmaliger Anstieg der Geschwindigkeit zu beobachten.

Aus der Geschwindigkeitsverteilung jeweils eines bestimmten Körpers kann man den Mittelwert der Geschwindigkeit erhalten und aus diesem den Reibungswiderstand unter Grundlegung der Annahme, daß der Reibungswiderstand proportional dem Quadrat der Geschwindigkeit ist.

Bei den Untersuchungen des Flachwassereinflusses auf den Reibungswiderstand [6] sind zum Vergleich für einige Beispiele die Mittelwerte der Geschwindigkeit in unbegrenzter Flüssigkeit bestimmt und daraus die Größe des Reibungswiderstandes. An dieser Stelle soll jedoch nicht näher darauf eingegangen werden; es mag der Hinweis darauf genügen.

### Zusammenfassung

Im ersten Teil der vorliegenden Arbeit wird der Einfluß der Unsymmetrie bei der Erzeugung eines Körpers aus einer vorgegebenen Dipolverteilung untersucht durch Vergleich desjenigen Körpers, der bei Vorgabe einer unsymmetrischen Dipolverteilung entsteht mit demjenigen Körper, der sich durch Zusammensetzung der Konturen ergibt, die durch die zwei entsprechenden symmetrischen Dipolverteilungen erzeugt werden.

Im zweiten Teil der Arbeit werden die Formeln für die Geschwindigkeitskomponenten angegeben und daraus die Geschwindigkeitsverteilung an der Körperoberfläche für eine Reihe von Zylindern und Rotationskörpern berechnet.

### Literatur:

- [1] Amtsberg, H.: Untersuchungen über die Formabhängigkeit des Reibungswiderstandes. (Jahrbuch der Schiffbautechnischen Gesellschaft, 1937, S. 177—234).
- [2] Kirsch, M.: Die Erzeugung von Zylindern aus vorgegebenen Singularitätsverteilungen. (Schiff und Hafen, 1959, Jg. 11, S. 365—384).
- [3] Kirsch, M.: Die Erzeugung von Rotationskörpern aus vorgegebenen Singularitätsverteilungen. (Schiff und Hafen, 1959, Jg. 11, S. 936—956).
- [4] Rankine, W. J. M.: On the mathematical theory of stream-lines, with four foci and upwards. (Philosophical Transactions of the Royal Society, London, 1871, S. 267—306).
- [5] Rankine, W. J. M.: On plane water lines in two dimensions. (Philosophical Transactions of the Royal Society, London, 1864, S. 369—391).
- [6] Kirsch, M.: Beitrag zur Abschätzung des Einflusses der beschränkten Wassertiefe auf den Widerstand. (Bericht des Instituts für Schiffbau der Universität Hamburg). (Noch nicht veröffentlicht.)



Sonderdruck aus der Fachzeitschrift „Schiff und Hafen“

Jahrgang 14 · Heft 11 · November 1962

Druck und Verlag: C. D. C. Heydorns Buchdruckerei, Uetersen bei Hamburg